

# OPTOELECTRONICS (I)

## Chapter 11: Light Sources

Mohammad Ali Mansouri- Birjandi

Department of Electrical and Computer Engineering  
University of Sistan and Baluchestan (USB)

**[mansouri@ece.usb.ac.ir](mailto:mansouri@ece.usb.ac.ir)**  
**[mamansouri@yahoo.com](mailto:mamansouri@yahoo.com)**

# Contents

## 11. Light Sources

### 11-1 The LED

- Biasing and Optical Power
- Time and Frequency Response
- Emission Efficiency

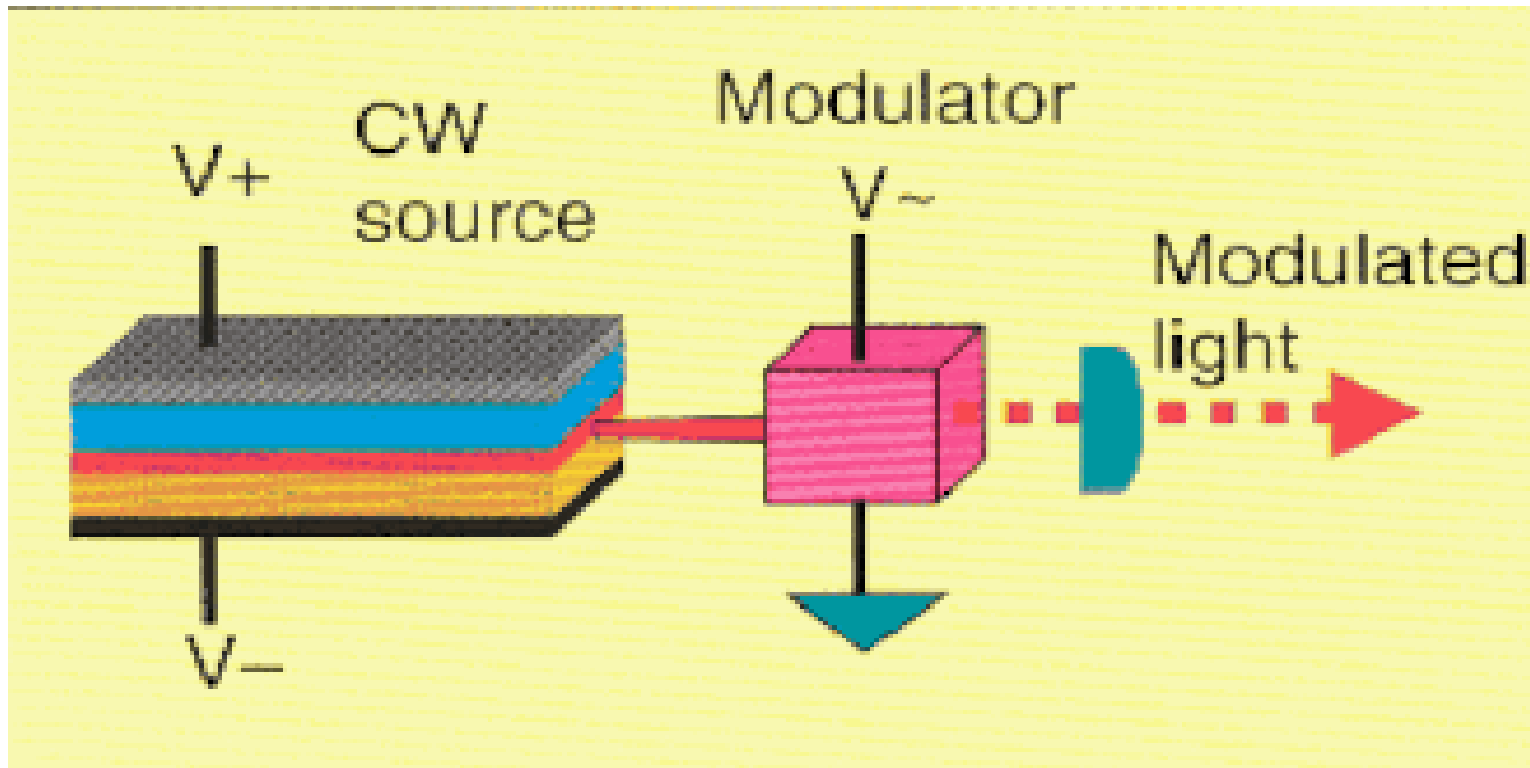
### 11-2 The Laser Diode

- Properties of Lasers
- Types of Semiconductor Lasers

# Contents

- ❑ منابع نوری
- ❑ دیود نور گسیل (LED)
- ❑ منحنی مشخصه های LED
- ❑ ساختار LED های پیشرفته
- ❖ لیزر (LASER)
  - ❖ منحنی مشخصه های لیزر
  - ❖ انواع لیزر
  - ❖ لیزرهای قابل تنظیم با کاواک خارجی

# Light Sources



# Light Sources

❖ منبع نوری ، سیگنالهای الکتریکی را به سیگنالهای نوری تبدیل می کند

❖ دو نوع قطعه در منابع نوری وجود دارد:

**Light Emitting Diode( LED ) .۱**

**Semiconductor LASER .۲**

**Light Amplification By Stimulated Emission of Radiation**

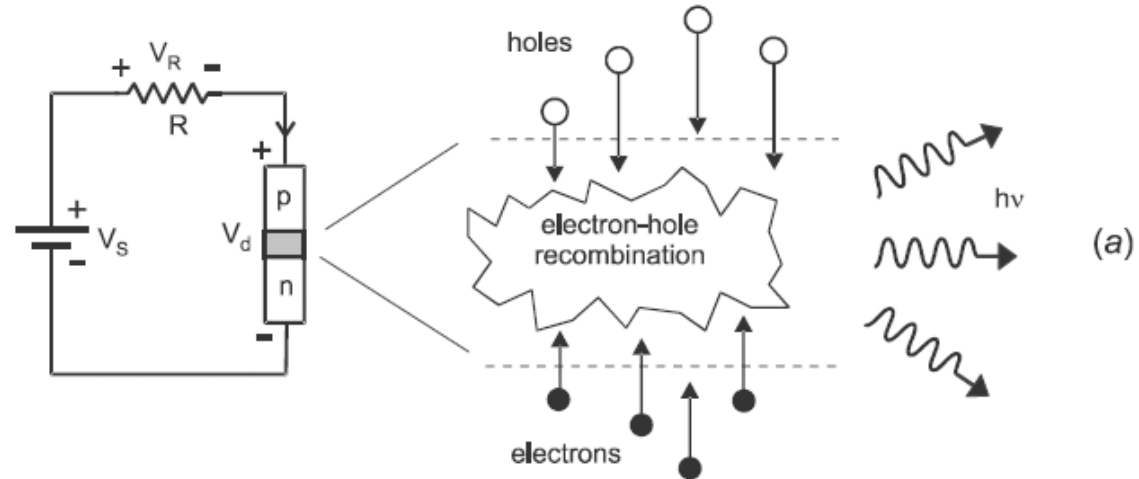
تقویت نور بوسیله گسیل تحریک شده ی نور

## 11-1. THE LED (*Light-Emitting Diode*)

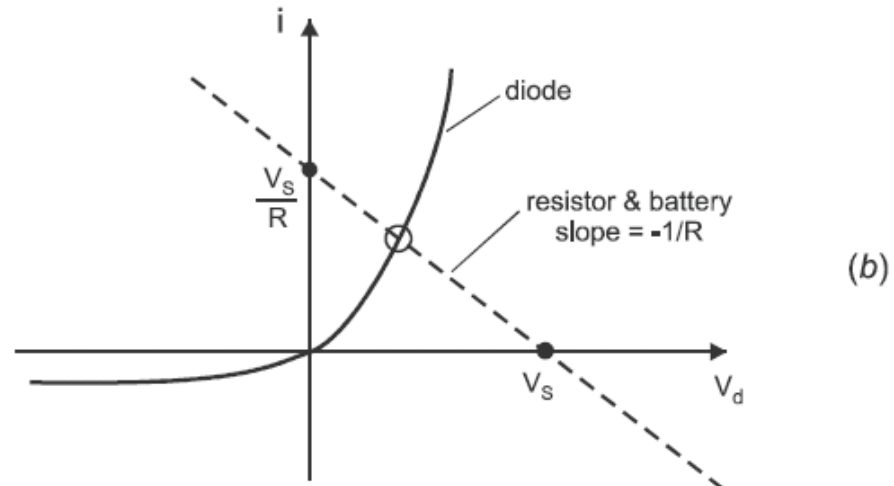
Figure 11-1

(a) A simple circuit for biasing an LED.

(b) The operating point for this circuit occurs where the load line (dashed) intersects the diode curve (solid).



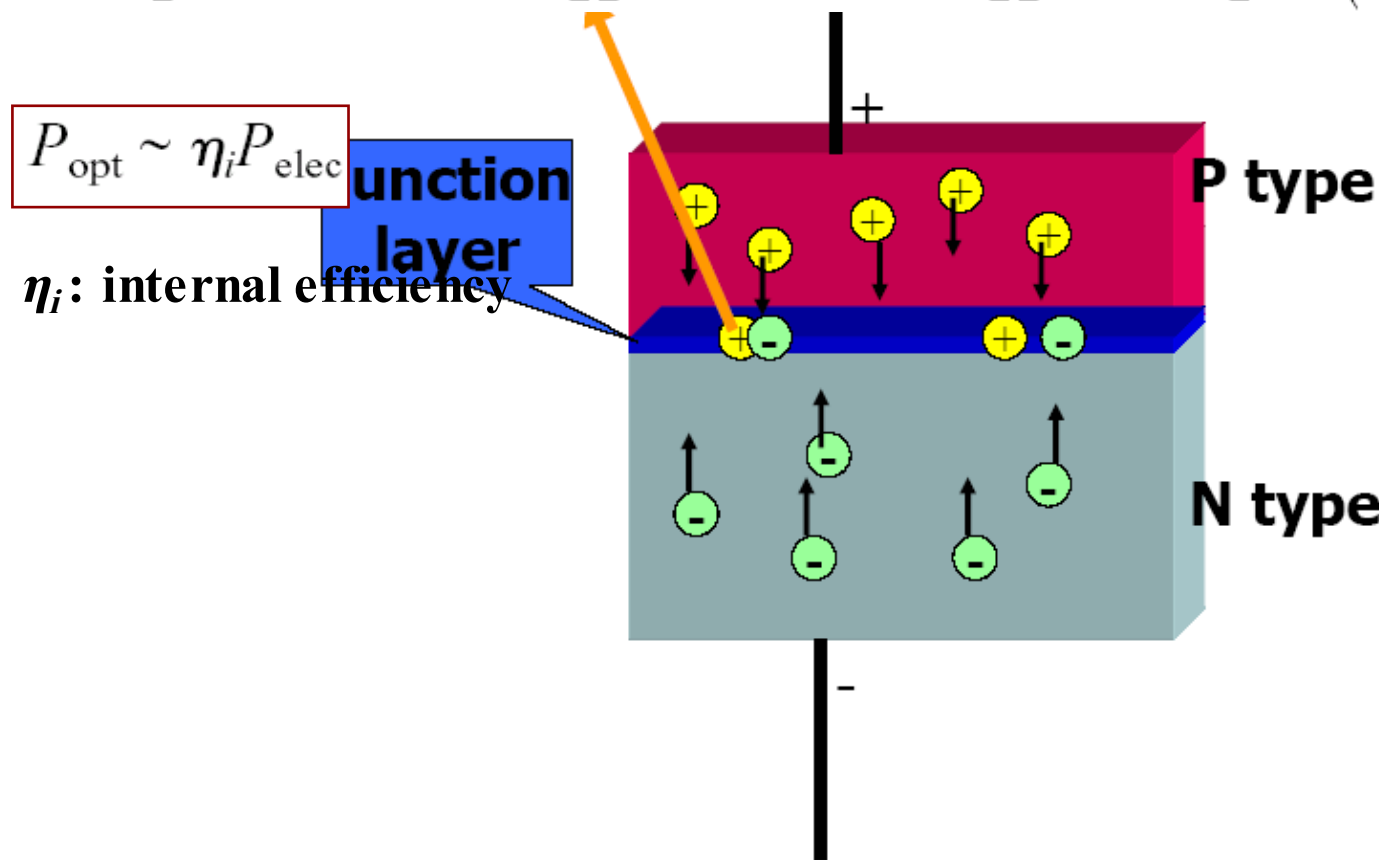
(a)



(b)

## 11-1. THE LED (*Light-Emitting Diode*)

$$P_{\text{opt}} = \left[ \frac{\text{recombinations}}{\text{unit time}} \right] \left[ \frac{\text{photons}}{\text{recombination}} \right] \left[ \frac{\text{energy}}{\text{photon}} \right] = \left( \frac{i}{e} \right) \eta_i h\nu$$



## مقدمه

### ❖ معايip LED:

- ۱ - خروجی نور ضعیف
- ۲ - طیف گسترده و غیرهمدوس
- ۳ - پاسخ کند افزاره

### ❖ مزیتهای LED:

(۱) هم به عنوان **مبدل سیگنال نوری** و هم به عنوان **نمایشگر** استفاده میشود.

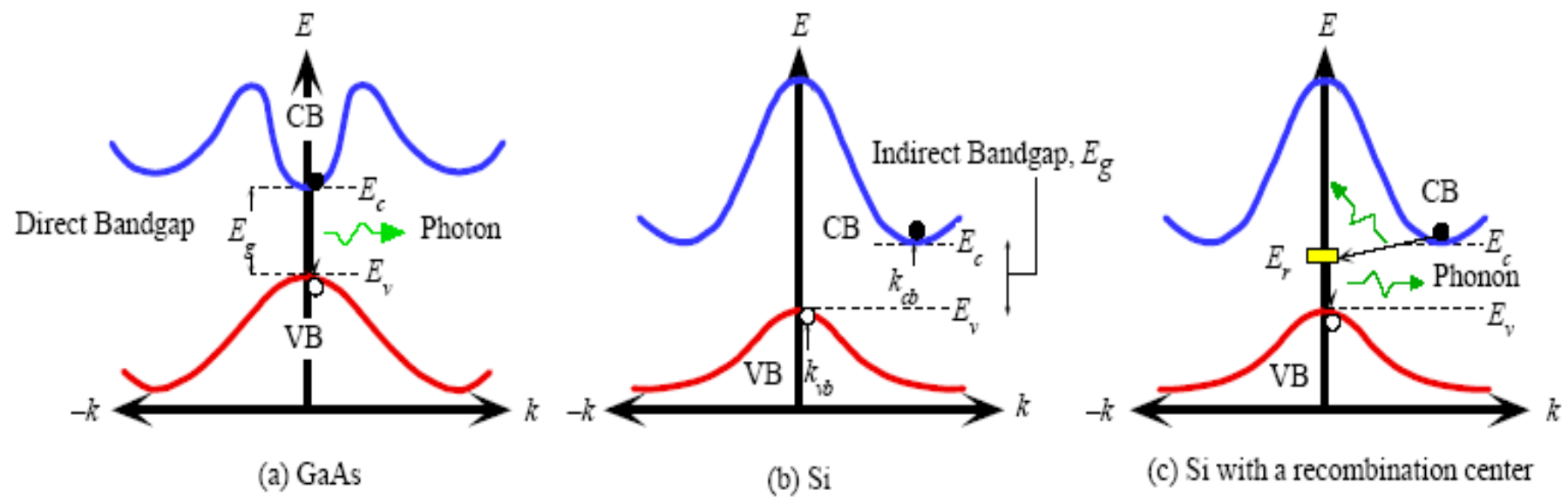
(۲) چون به هیچ کاواک خاصی برای عملکردش نیاز ندارد **ساخت آن ساده تر** است.

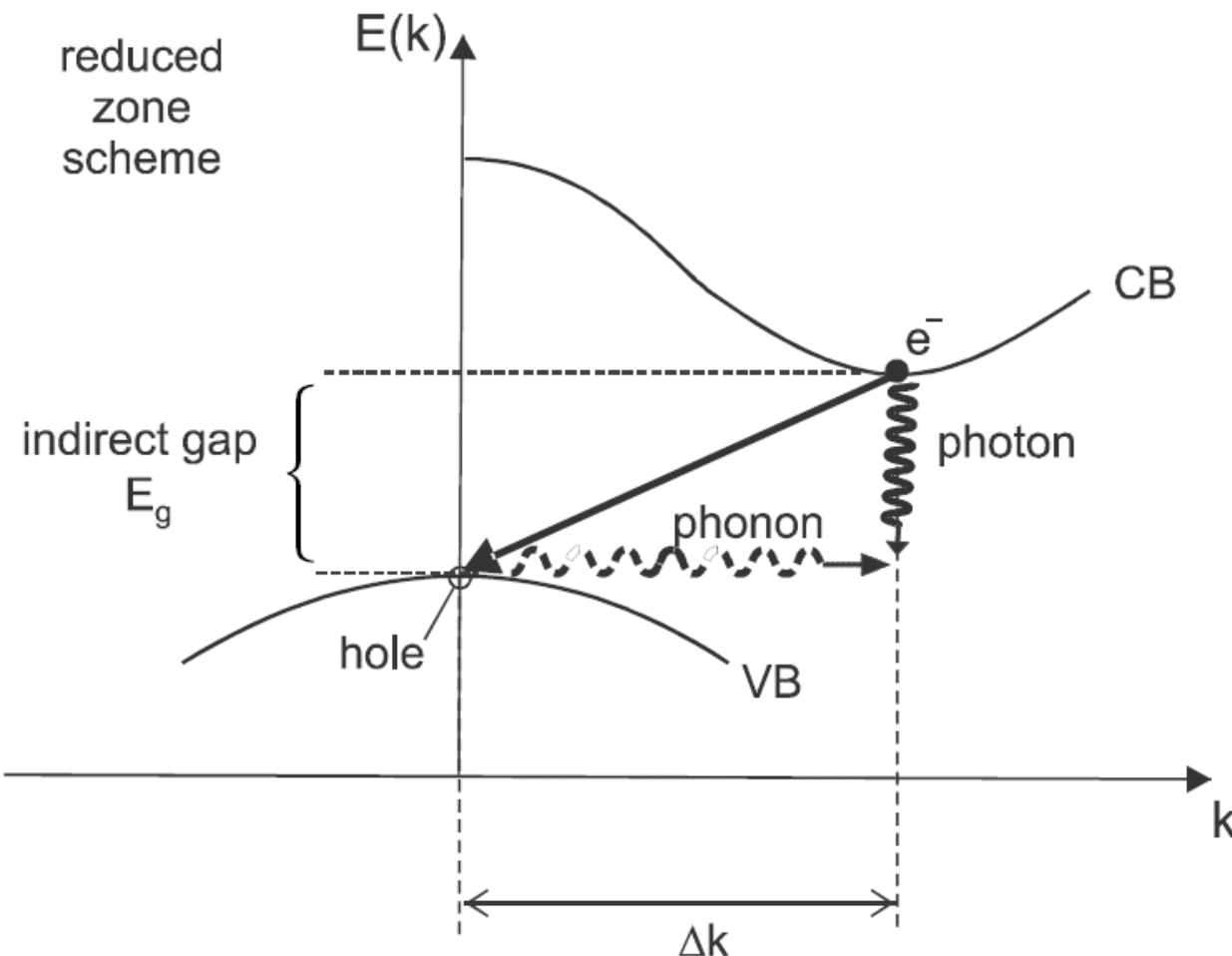
❖ **كاربرد ديوود ليزر:** هر گاه سرعت مدوله کردن بيشتر از ۵ هرتز يا خروجی نور با طيف خاص لازم باشد.

❖ پنهانی طیف نور خروجی LED از مرتبه **K<sub>B</sub>T** است.  
(متناظر با گستره طول موج  $A^0$  ۴۰۰ – ۳۰۰ در دمای اتاق است).

❖ **سيليسيم در الکترونيک نوري:** به دليل اينكه si با شکاف انرژی غير مستقيم است باز ترکيب تشعشي ضعيفی دارد پس جهت گسيل نور ناتوان است.

## مقایسه باند انرژی مواد مستقیم و غیرمستقیم





**Figure 10-6** In an **indirect radiative transition**, the  $\Delta k$  of the electron is too large to balance the photon's momentum. A phonon simultaneously **emitted** or **absorbed** can allow momentum to be conserved.

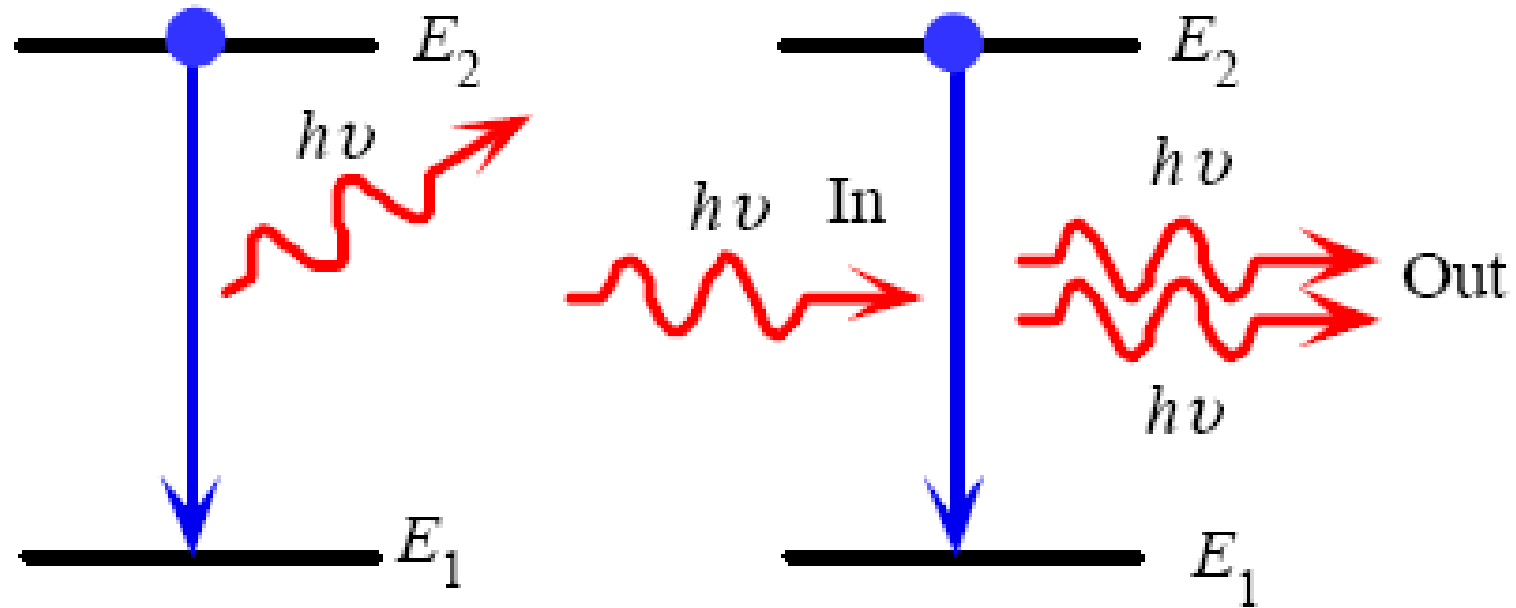
# **Interaction Photon and Electron**

## **1. Emission of Photon**

- Spontaneous Emission**
- Stimulated Emission**

## **2. Absorption of Photon**

گسیل نور: ۱- خودبخودی ۲- تحریک شده



(b) Spontaneous emission (c) Stimulated emission

# Recombination

- There are then **three different processes** by which the **electron** can decay out of the conduction band:

1. radiative decay,

$$W_r = B_r n$$

$B_r$  :constant of proportionality

2. nonradiative decay to traps,

3. Auger relaxation.

$$W_{\text{Auger}} = C_A n^2$$

$C_A$  :Auger constant

- Since the probabilities for *independent processes* add, the **total probability** that an **electron decays per unit time** is given by

$$W_{\text{total}} = A_{nr} + B_r n + C_A n^2$$

➤  $B_r \approx 10^{-11}$  to  $10^{-9}$  cm<sup>3</sup>/s for **direct** transitions and

➤  $B_r \approx 10^{-15}$  to  $10^{-13}$  cm<sup>3</sup>/s for **indirect** transitions.

➤ **GaAs** has  $B_r \approx 7 \times 10^{-10}$  cm<sup>3</sup>/s.

# Recombination

$$W_r = B_r n$$

$$W_{\text{Auger}} = C_A n^2$$

$$W_{\text{total}} = A_{nr} + B_r n + C_A n^2$$

$$\eta_i = \frac{W_r}{W_{\text{total}}} = \frac{B_r n}{A_{nr} + B_r n + C_A n^2} \quad (\text{radiative efficiency})$$

بازده کوانتومی داخلی  
برای فرایندهای تابشی

$$\eta_{Qr} = \frac{\frac{1}{\tau_r}}{\frac{1}{\tau_r} + \frac{1}{\tau_{nr}}} = \frac{1}{1 + \frac{\tau_r}{\tau_{nr}}}$$

## EXAMPLE 10-2

- Compare the **radiative efficiencies** for **GaAs** ( $E_g = 1.42 \text{ eV}$ ) and **In<sub>0.53</sub>Ga<sub>0.47</sub>As** ( $E_g = 0.74 \text{ eV}$ ), for the same electron density of  $n = 5 \times 10^{18} \text{ cm}^{-3}$ .
- Take **Auger constants** of  $5 \times 10^{-30} \text{ cm}^6/\text{s}$  and  $1 \times 10^{-28} \text{ cm}^6/\text{s}$ , and **B<sub>r</sub>** values of  $7.2 \times 10^{-10}$  and  $4 \times 10^{-11} \text{ cm}^3/\text{s}$  for **GaAs** and **InGaAs**, respectively.

### Solution:

For **GaAs**, the **radiative** and **Auger** rates are

$$W_r = B_r n = \left( 7.2 \times 10^{-10} \frac{\text{cm}^3}{\text{s}} \right) (5 \times 10^{18} \text{ cm}^{-3}) = 3.6 \times 10^9 \text{ s}^{-1}$$

$$W_{\text{Auger}} = C_A n^2 = \left( 5 \times 10^{-30} \frac{\text{cm}^6}{\text{s}} \right) (5 \times 10^{18} \text{ cm}^{-3})^2 = 1.25 \times 10^8 \text{ s}^{-1}$$

**Solution:**

## EXAMPLE 10-2

- For  $\text{In}_{.53}\text{Ga}_{.47}\text{As}$  the corresponding rates are

$$W_r = B_r n = \left(4 \times 10^{-11} \frac{\text{cm}^3}{\text{s}}\right) (5 \times 10^{18} \text{ cm}^{-3}) = 2 \times 10^8 \text{ s}^{-1}$$

$$W_{\text{Auger}} = C_A n^2 = \left(1 \times 10^{-28} \frac{\text{cm}^6}{\text{s}}\right) (5 \times 10^{18} \text{ cm}^{-3})^2 = 2.5 \times 10^9 \text{ s}^{-1}$$

- Note that all these rates are much larger than the **nonradiative decay** rate to traps,  $A_{nr} \sim 10^7 \text{ s}^{-1}$ .

- Therefore, the **efficiency** for the two materials is

$$\text{GaAs: } \eta_i = \frac{36}{36 + 1.25} = 0.97$$

$$\text{InGaAs: } \eta_i = \frac{2}{25 + 2} = 0.074$$

This example illustrates the general trend that **Auger losses** are more significant in **smaller-bandgap** materials.

$$\lambda(\mu\text{m}) = \frac{hc}{E_g} = \frac{1.2399}{E_g(\text{eV})}$$

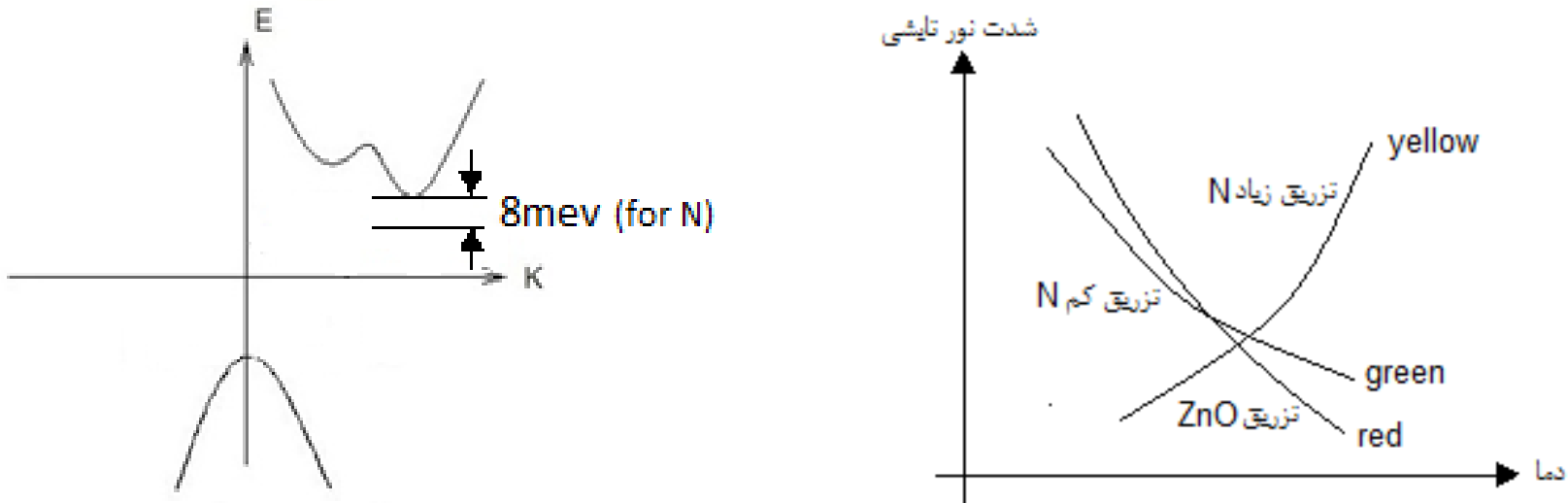
Material	Wavelength Range $\lambda$ ( $\mu\text{m}$ )	$E_g$ (eV)
InP	<b>0.92</b>	<b>1.35</b>
InAs	<b>3.6</b>	<b>3.44</b>
GaP	<b>0.56</b>	<b>2.21</b>
GaAs	<b>0.87</b>	<b>1.43</b>
AlAs	<b>0.59</b>	<b>2.10</b>
$\text{Ga}_x\text{In}_{1-x}\text{P}$	<b>0.64-0.68</b>	<b>1.82-1.94</b>
$\text{Al}_x\text{Ga}_{1-x}\text{As}$	<b>0.8-0.9</b>	<b>1.38-1.55</b>
$\text{In}_x\text{Ga}_{1-x}\text{As}$	<b>1.0-1.3</b>	<b>0.95-1.24</b>
$\text{In}_x\text{Ga}_{1-x}\text{As}_y\text{P}_{1-y}$	<b>0.9-1.7</b>	<b>0.73-1.38</b>

<i><b>Group 2</b></i>	<i><b>Group 3</b></i>	<i><b>Group 4</b></i>	<i><b>Group 5</b></i>	<i><b>Group 6</b></i>
<i><b>Cd</b></i>	<i><b>B</b></i>	<i><b>C</b></i>	<i><b>N</b></i>	<i><b>S</b></i>
<i><b>Zn</b></i>	<i><b>Al</b></i>	<i><b>Si</b></i>	<i><b>As</b></i>	<i><b>Te</b></i>
<i><b>Hg</b></i>	<i><b>Ga</b></i>	<i><b>Ge</b></i>	<i><b>P</b></i>	
	<i><b>In</b></i>		<i><b>Sb</b></i>	

$$E_g = 1.424 + 1.427x + 0.041x^2 \text{ eV} \quad (\text{Al}_x\text{Ga}_{1-x}\text{As bandgap})$$

- ❖ با تزریق بسیار کم نیتروژن به **GaP** که یک ماده غیرمستقیم است به مستقیم تبدیل میشود. میزان تزریق  $N$  باید طوری باشد که در شبکه به عنوان *Index* نباشد. اگر تزریق  $N$  کم باشد نور سبز و اگر  $N$  زیاد باشد نور زرد تولید می شود. (هم برای رنگ سبز بکار میروند)
- ❖ با تزریق **ZnO** نیز نور قرمز تولید می شود.
- ❖ **GaAsP**: به طور گستردگی در تولید LED به کار می رود، ولی به علت پایین بودن بازده گسیل نوری برای لیزر مناسب نیست.

❖ **InGaAsP** : برای طول موج  $1.55 \mu\text{m}$



# Population Inversion

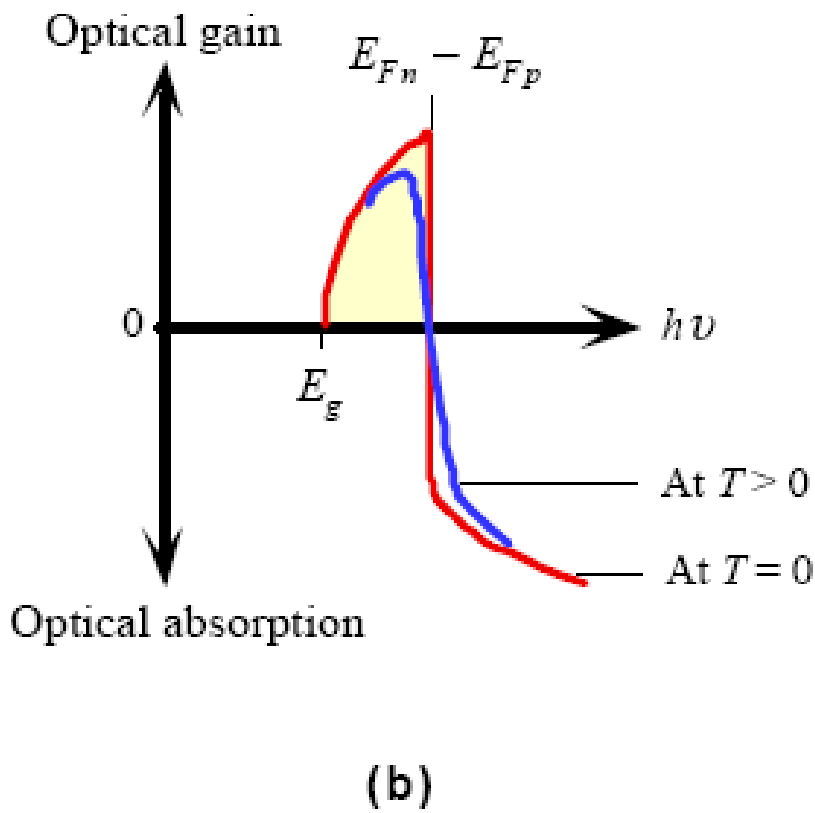
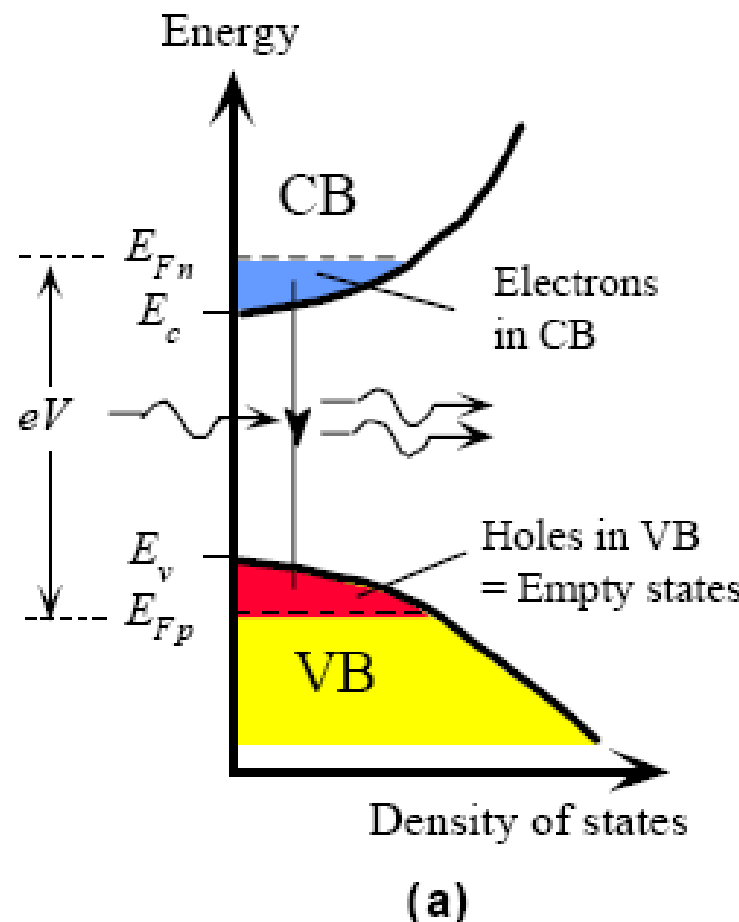
$$R_{\text{spont}} = A_{21} n_2$$

$$R_{\text{sum}} = B_{21} n_2 \rho(h\vartheta_{12})$$

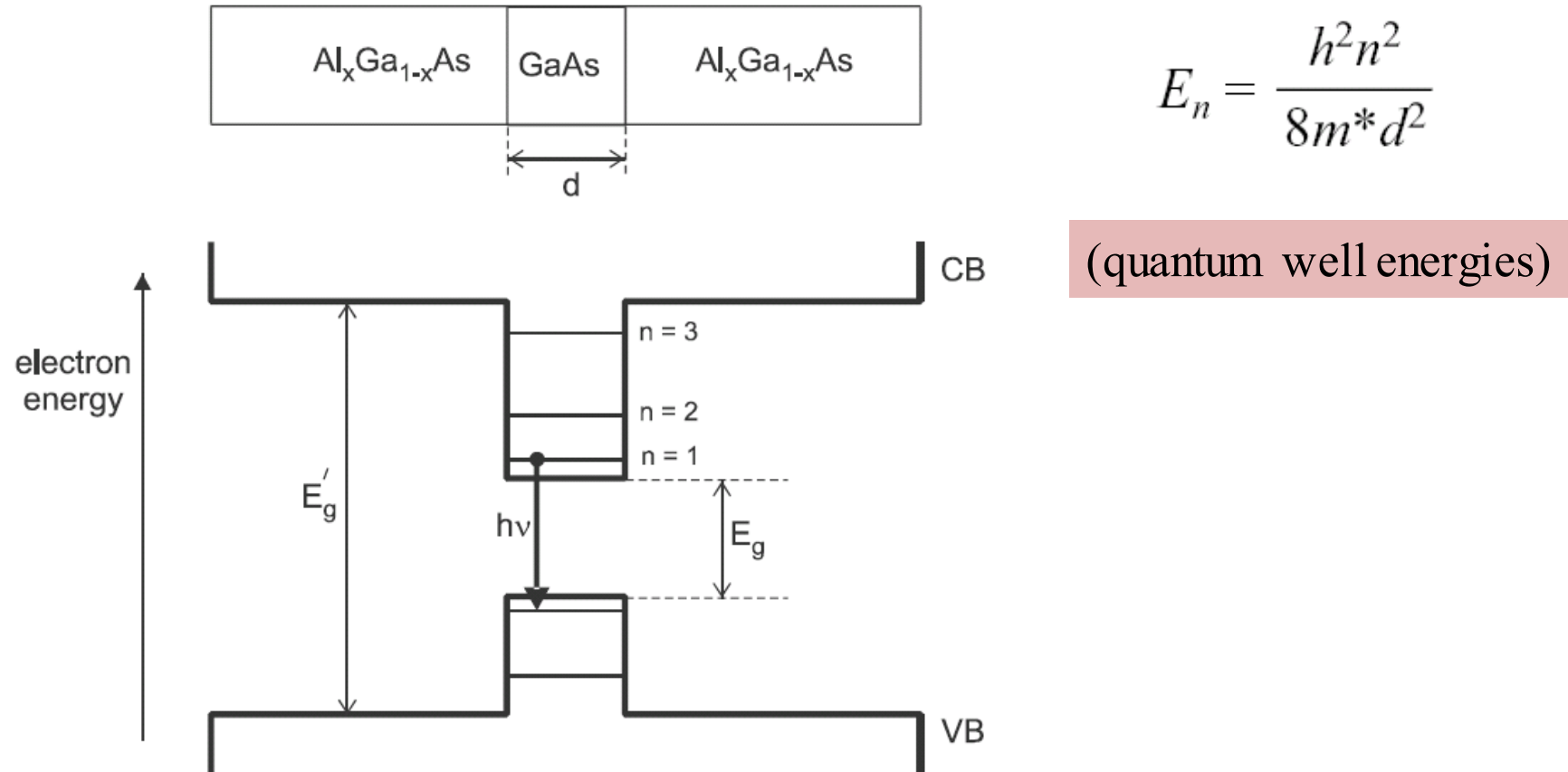
$$R_{\text{absorp}} = A_{12} n_2 \rho(h\vartheta_{12})$$

$$\frac{n_2}{n_1} = e^{-\frac{E_2 - E_1}{KT}} = e^{-\frac{\hbar\vartheta_{12}}{KT}}$$

## بهره و جذب نوری



## Semiconductor Heterojunctions: The Quantum Well

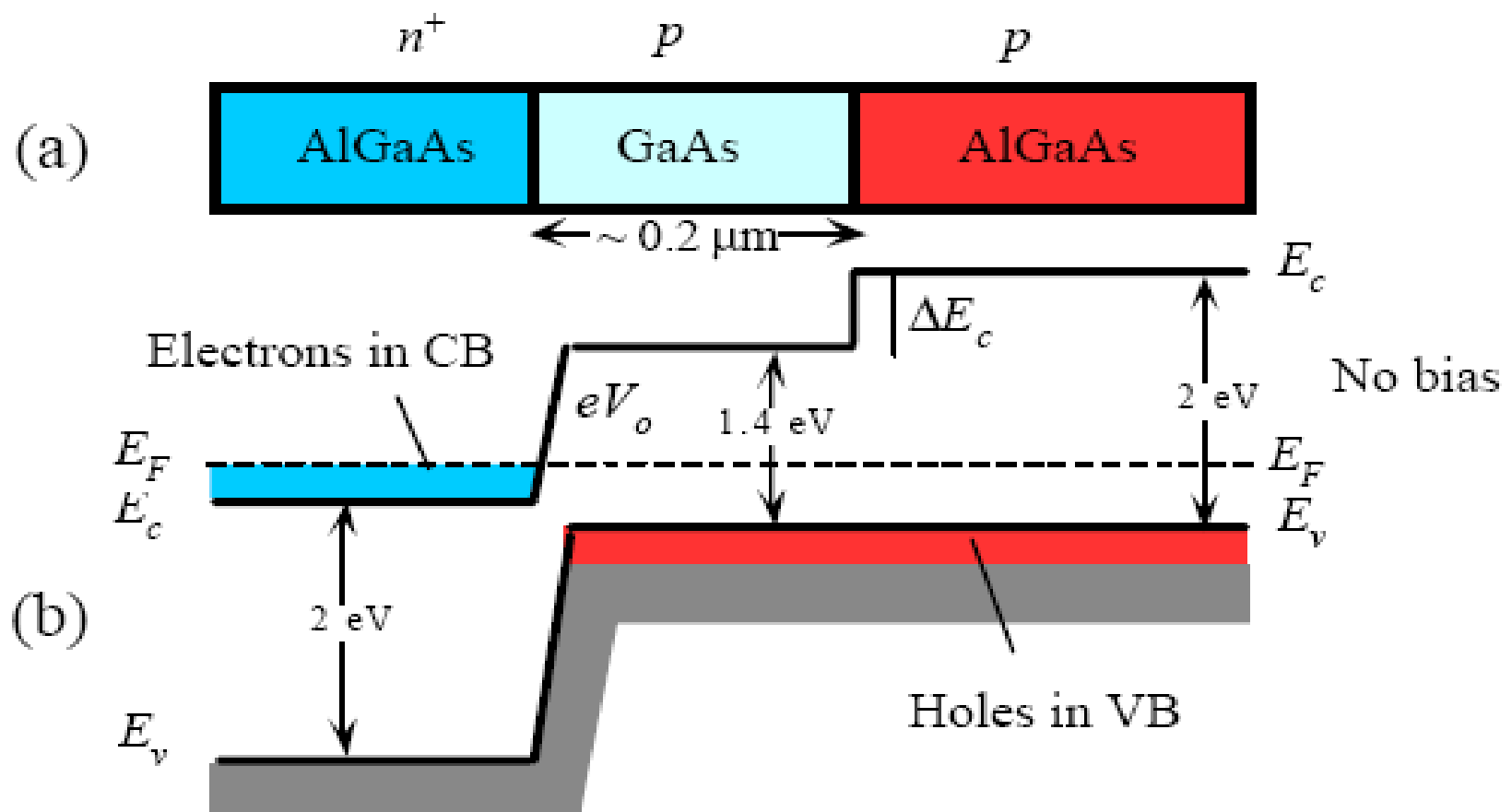


$$E_n = \frac{h^2 n^2}{8m^* d^2}$$

(quantum well energies)

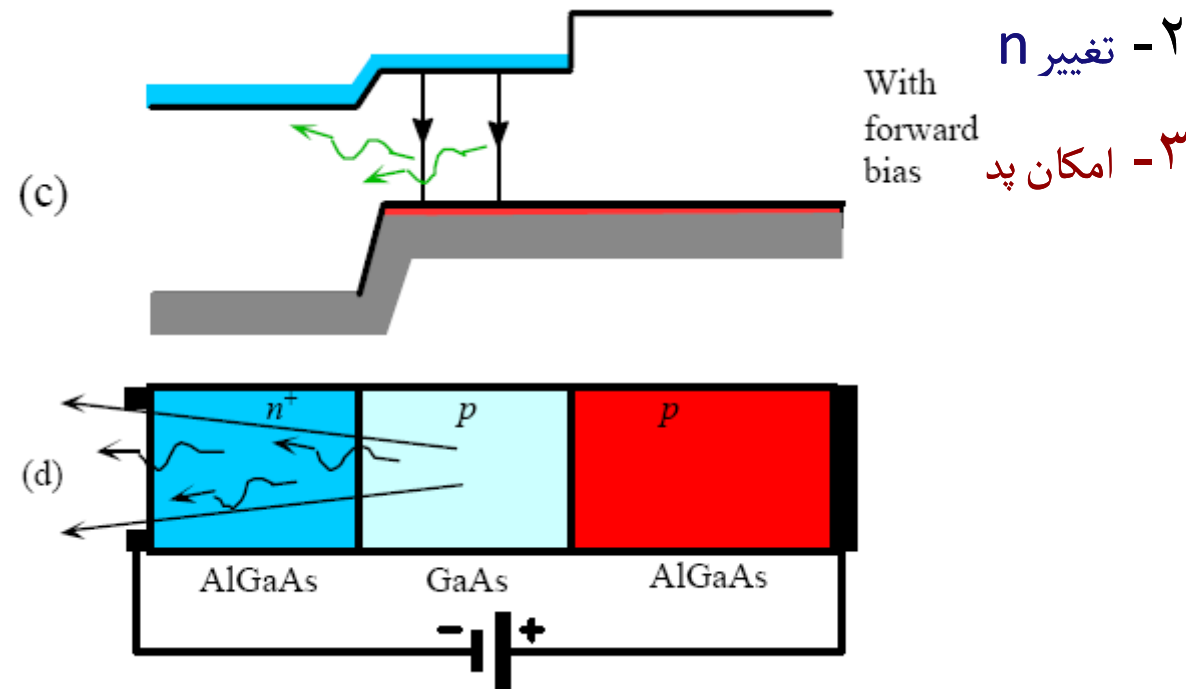
**Figure 10-15** In a quantum well structure, the energy levels in the conduction and valence bands depend not only on the bandgap of the material, but also on the thickness  $d$  of the middle layer.

# Heterojunctions (Practical LED)

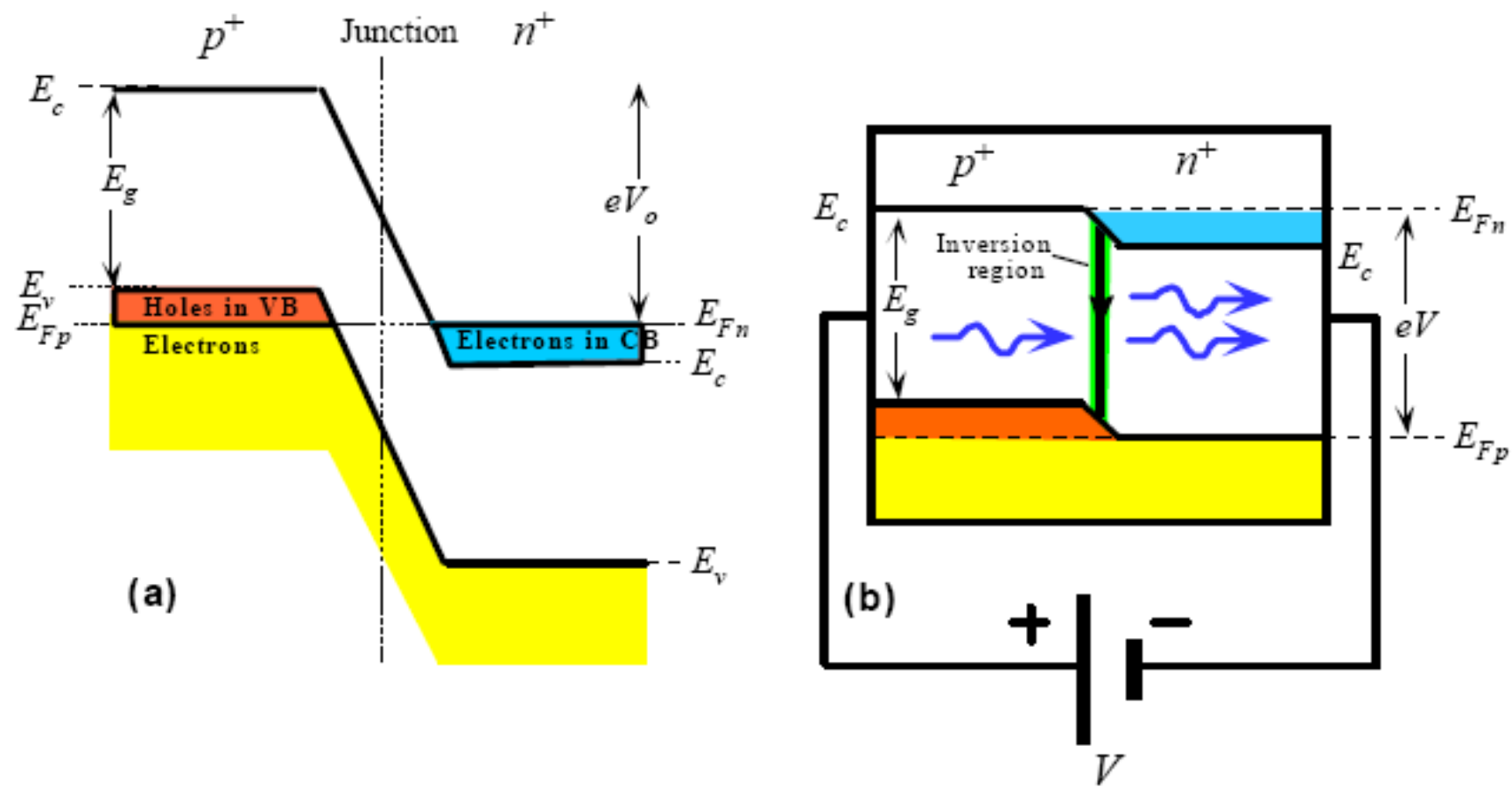


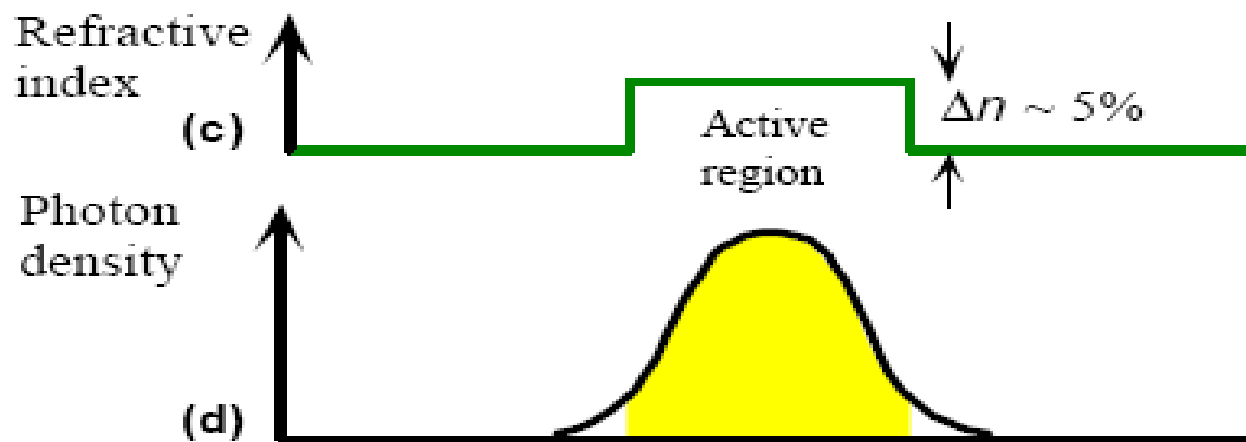
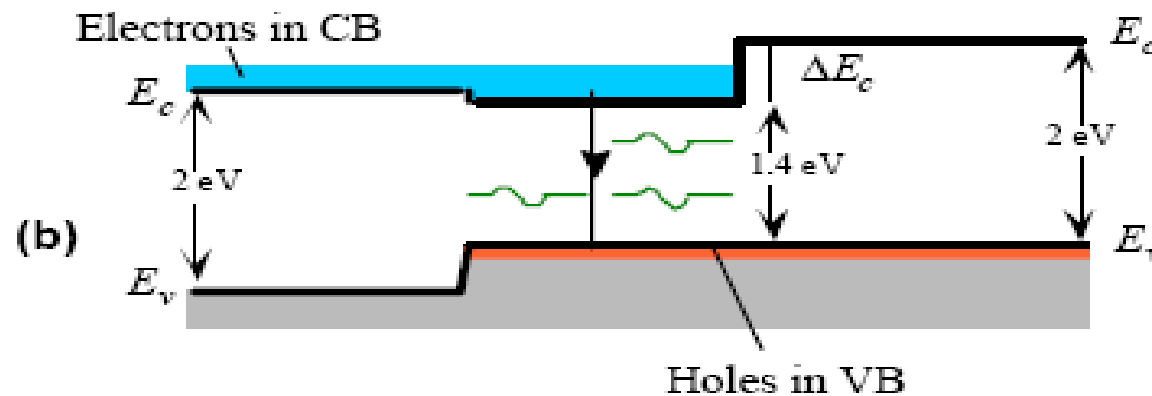
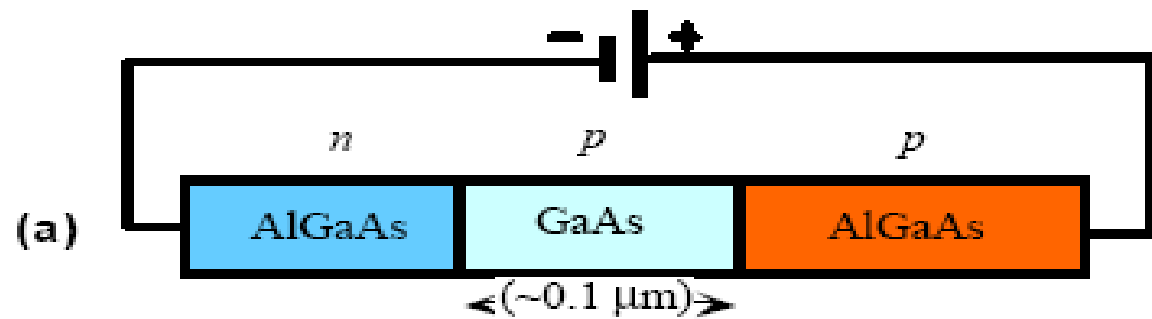
مزایای هتروجانکشن:

۱ - تغییر  $E_g$ : باعث محبوس شدن حامل

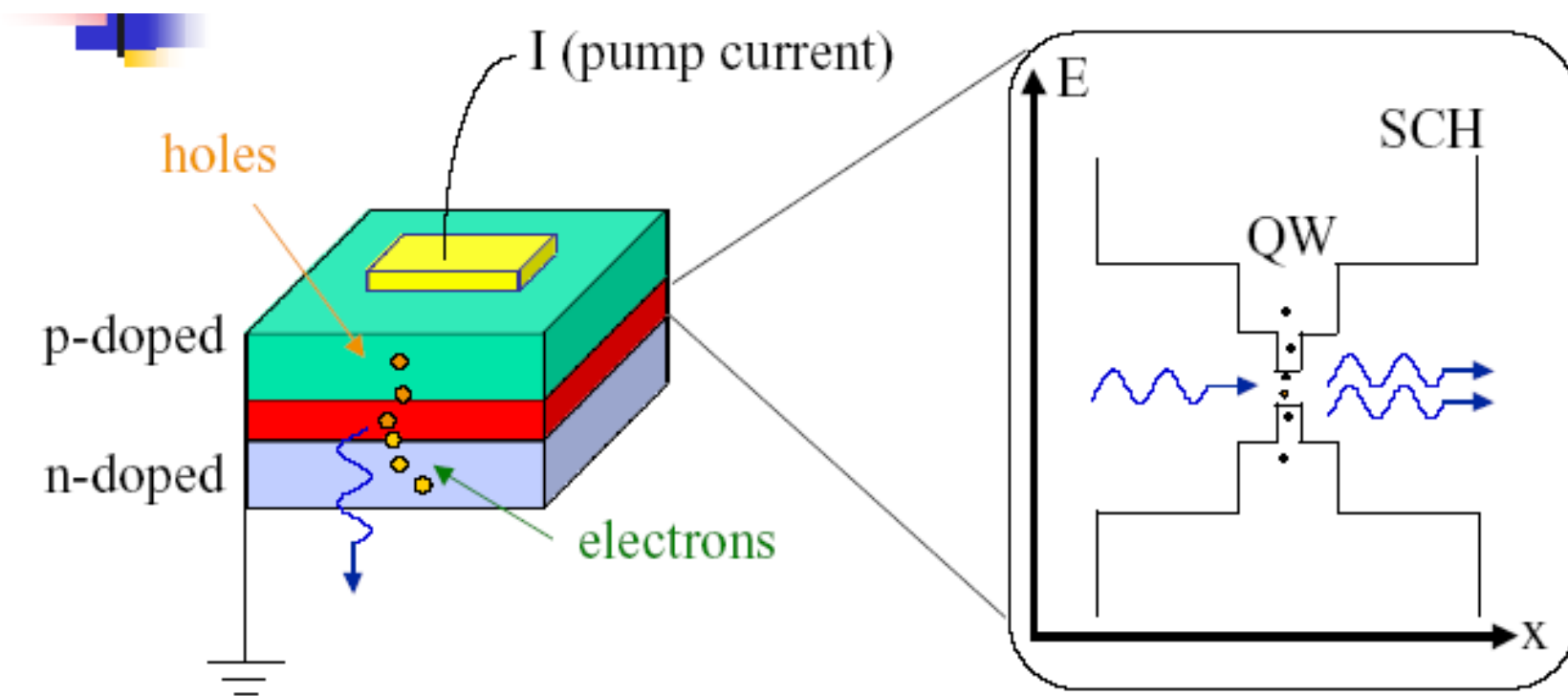


## گسیل تحریک شده نور در نیمه هادی

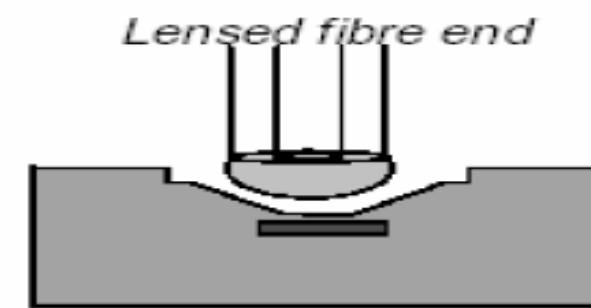
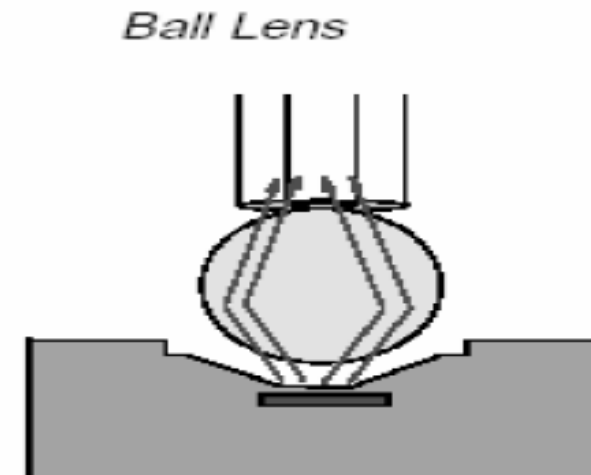
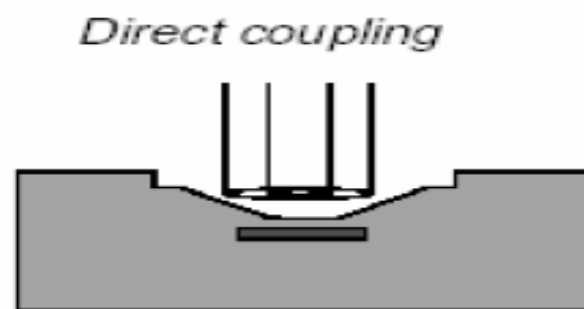
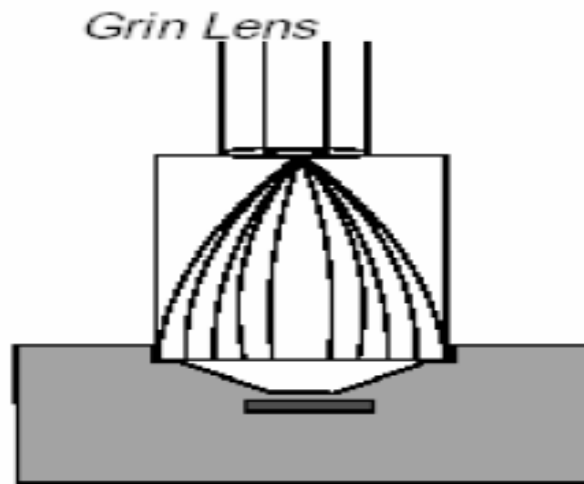




## گسیل تحریک شده نور در هتروجانکشن



# کوپلینگ به فیبر



# بازده کوانتومی خارجی (External Quantum efficiency)

❖ برای بیرون آوردن فوتونها از قطعه، باید دقت زیادی در طراحی به عمل آورد.

❖ سه نحوه اتلاف برای فوتونهای گسیل شده وجود دارد:

- ۱- جذب فوتونها
- ۲- انعکاس فوتونها در فصل مشترک هوا-نیمه هادی
- ۳- بازتابش کلی داخلی فوتونهایی که با زاویه بزرگتری از زاویه بحرانی به سطح برخورد می‌کنند.

$$R = \left( \frac{n_{r1} - n_{r2}}{n_{r1} + n_{r2}} \right)^2$$

$$\theta_C = \sin^{-1} \left( \frac{n_{r2}}{n_{r1}} \right)$$

ضریب بازتاب برای نور عمودی:

: ضریب شکست نیمه هادی

: ضریب شکست هوا

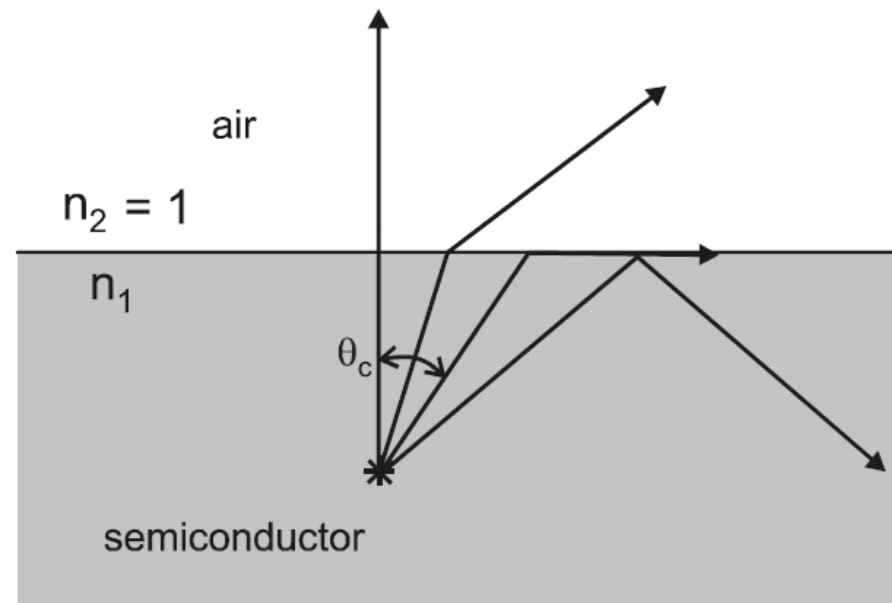
راه حل: بکارگیری محفظه گنبدی شکل

## بازده کوانتومی خارجی (External Quantum efficiency)

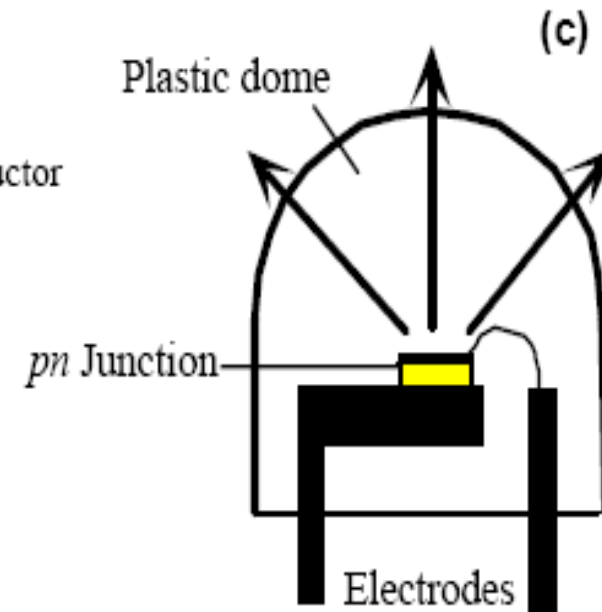
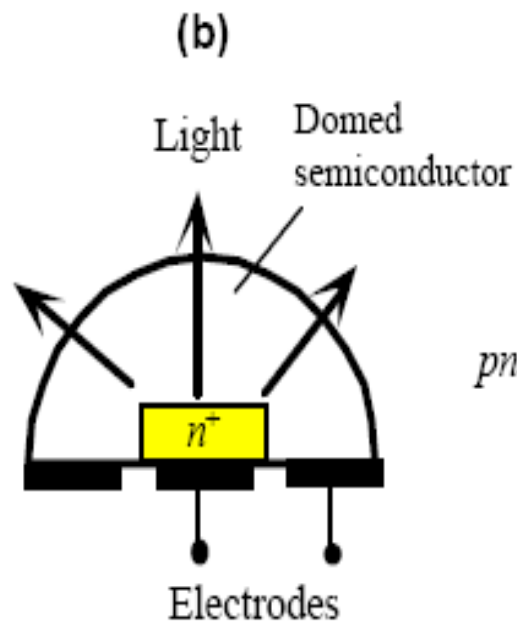
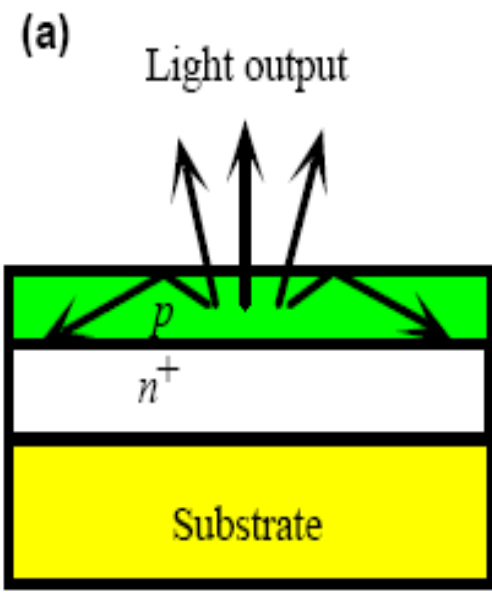
$$\eta_{\text{ext}} = \frac{\Omega}{4\pi} T \quad (\text{external efficiency}) \quad (11-15)$$

$$T = 1 - \left( \frac{n_1 - n_2}{n_1 + n_2} \right)^2 \quad (\text{Fresnel reflection losses})$$

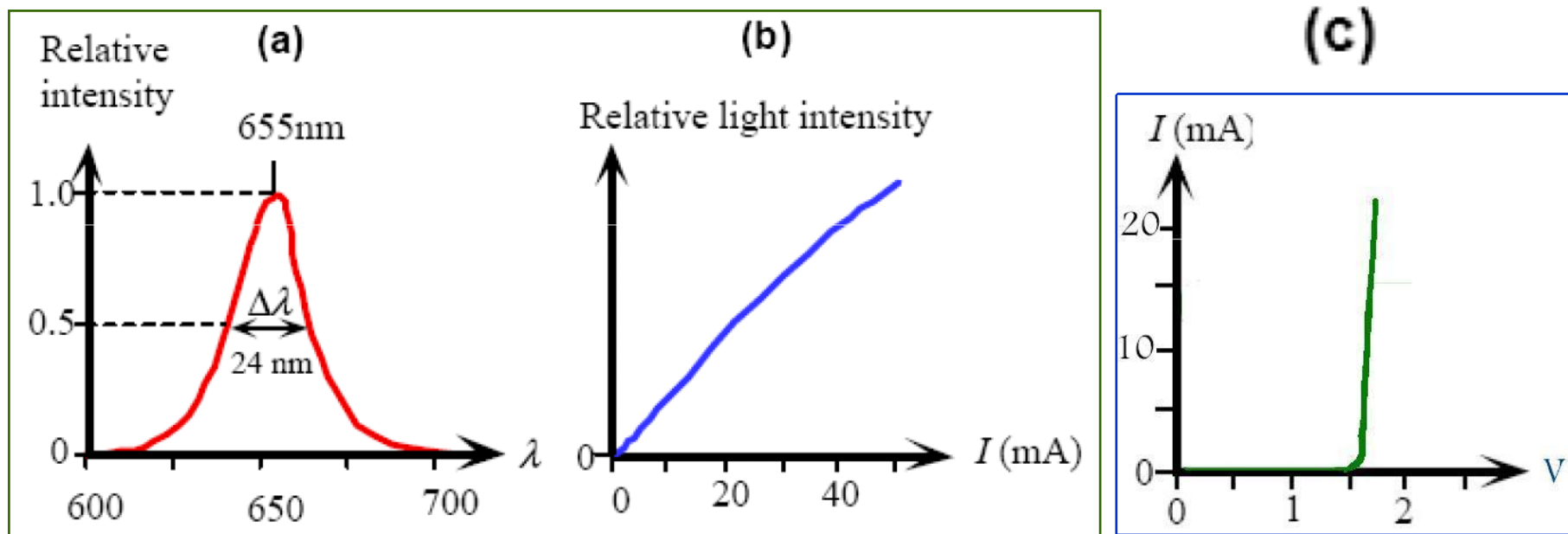
$$\Omega = \pi \theta_c^2$$



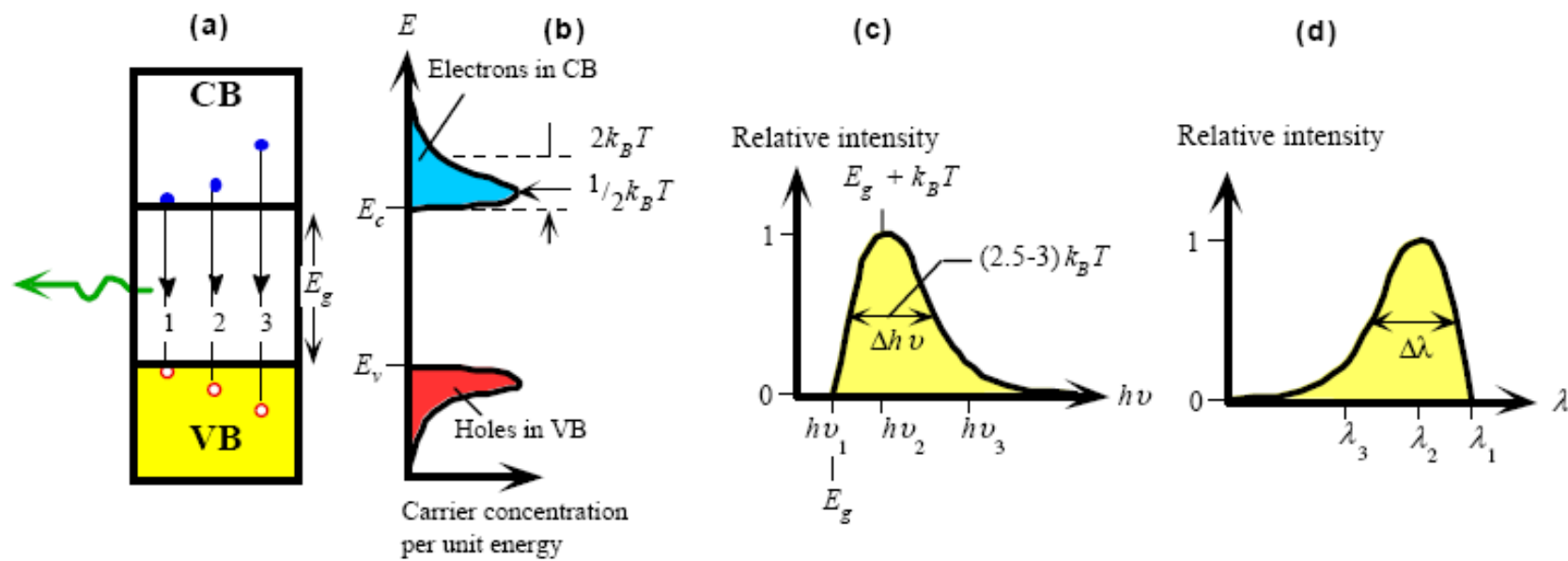
# پوشش گنبدی LED



# منحنی مشخصه های LED



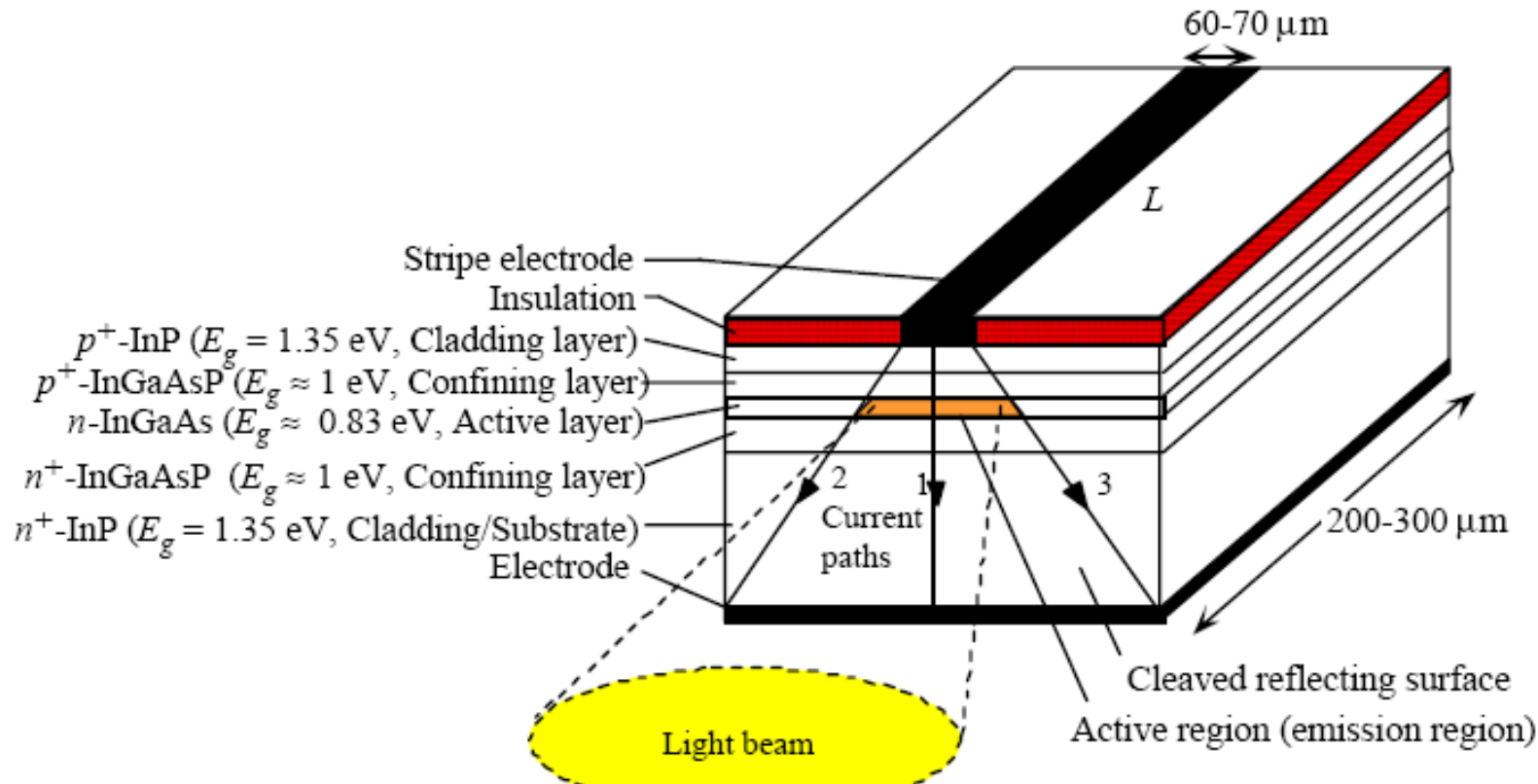
# پهنهای خط LED



# مشخصات LED

- ارزان
- توان کم (در حدود میکرووات)
- پهناز خط بزرگ (در حدود nm ۵۰ - ۳۰)
- دارای نور غیرهمدوس
- سرعت مدولاسیون پایین (کوچکتر از ۳۰۰ Mbps)

# ساختار LED‌های پیشرفته

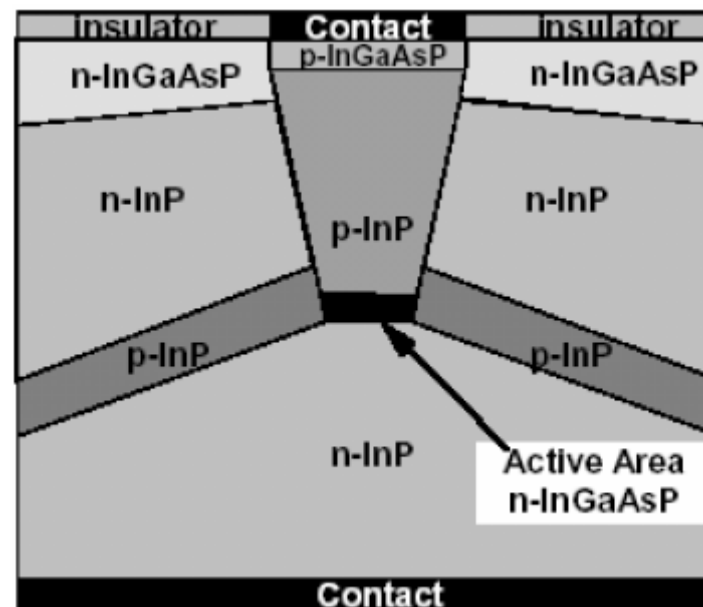


Schematic illustration of the the structure of a double heterojunction stripe contact edge emitting LED

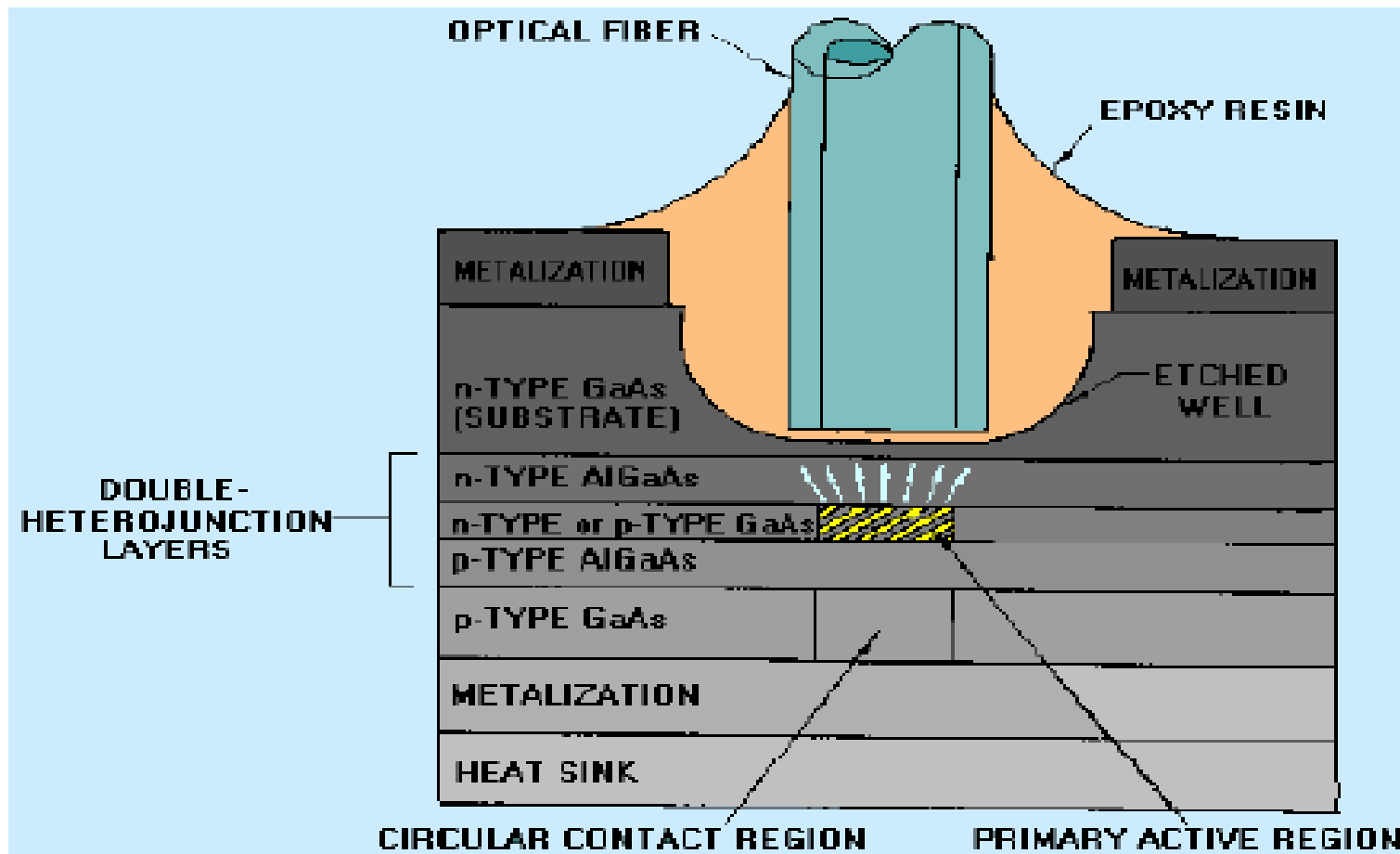
# LED Structures:

1. Edge-Emitting LED
2. Surface-Emitting (Burrus)

1. Edge-Emitting LED



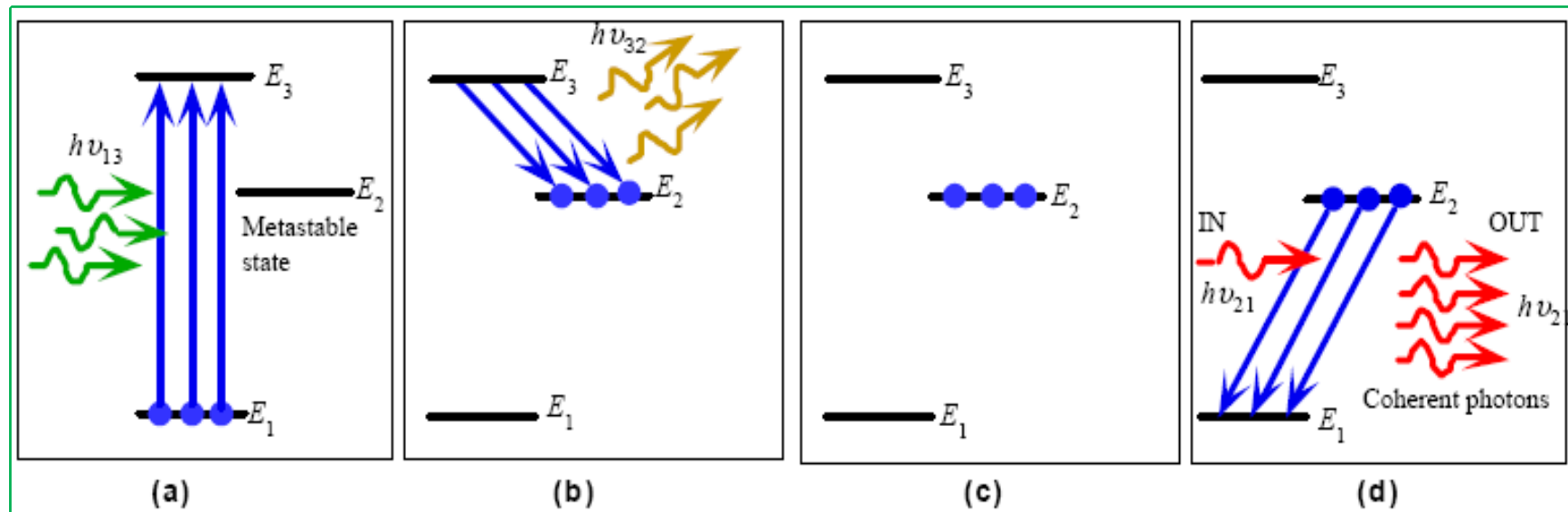
# $\gamma$ -Surface-Emitting (Burrus)



# LASER:

## Light Amplification By Stimulated Emission of Radiation

تقویت نور بوسیله گسیل تحریک شده نور



- تقویت نور به وسیله گسیل های تحریکی تابش

- تابش های تحریک شده همدوس هستند.

- همه ی امواج سازنده چنین تابش هایی ، هم فاز هستند.

# خواص نور لیزر

- ❖ تک فام (دارای یک رنگ) (یک طول موج)(Monochromatic)
- ❖ جهت دار(مانند نور معمولی پخش نمی شود) (Directional)
- ❖ همدوس (همه امواج همفاز هستند) (Coherence)
- ❖ پهنای خط باریک
- ❖ پهنای باند مدوله کردن زیاد (حتی بالاتر از 50GHz)
- ❖ در خشنگی (Brightness)

# اجزاء مختلف لیزر

۱- محیط فعال (کاواک لیزر)

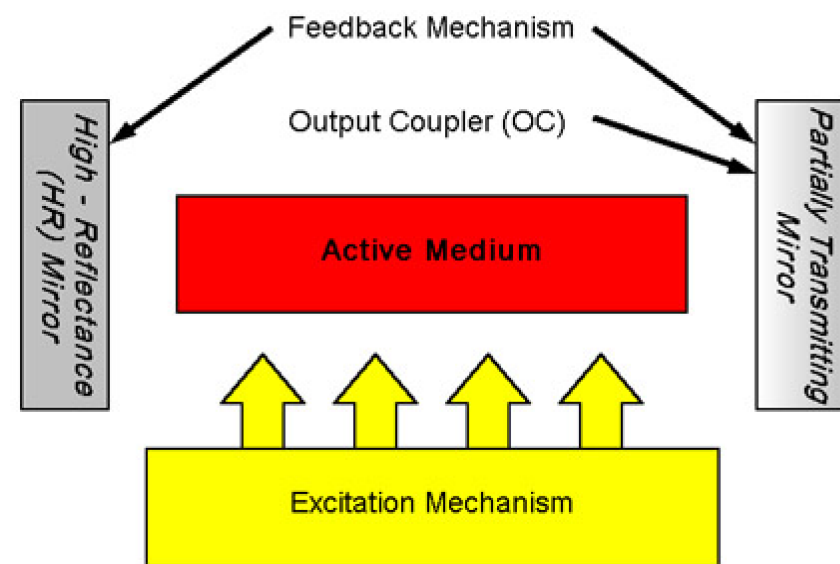
۲- مکانیزم تحریک

۳- مکانیزم فیدبک (دو آینه)

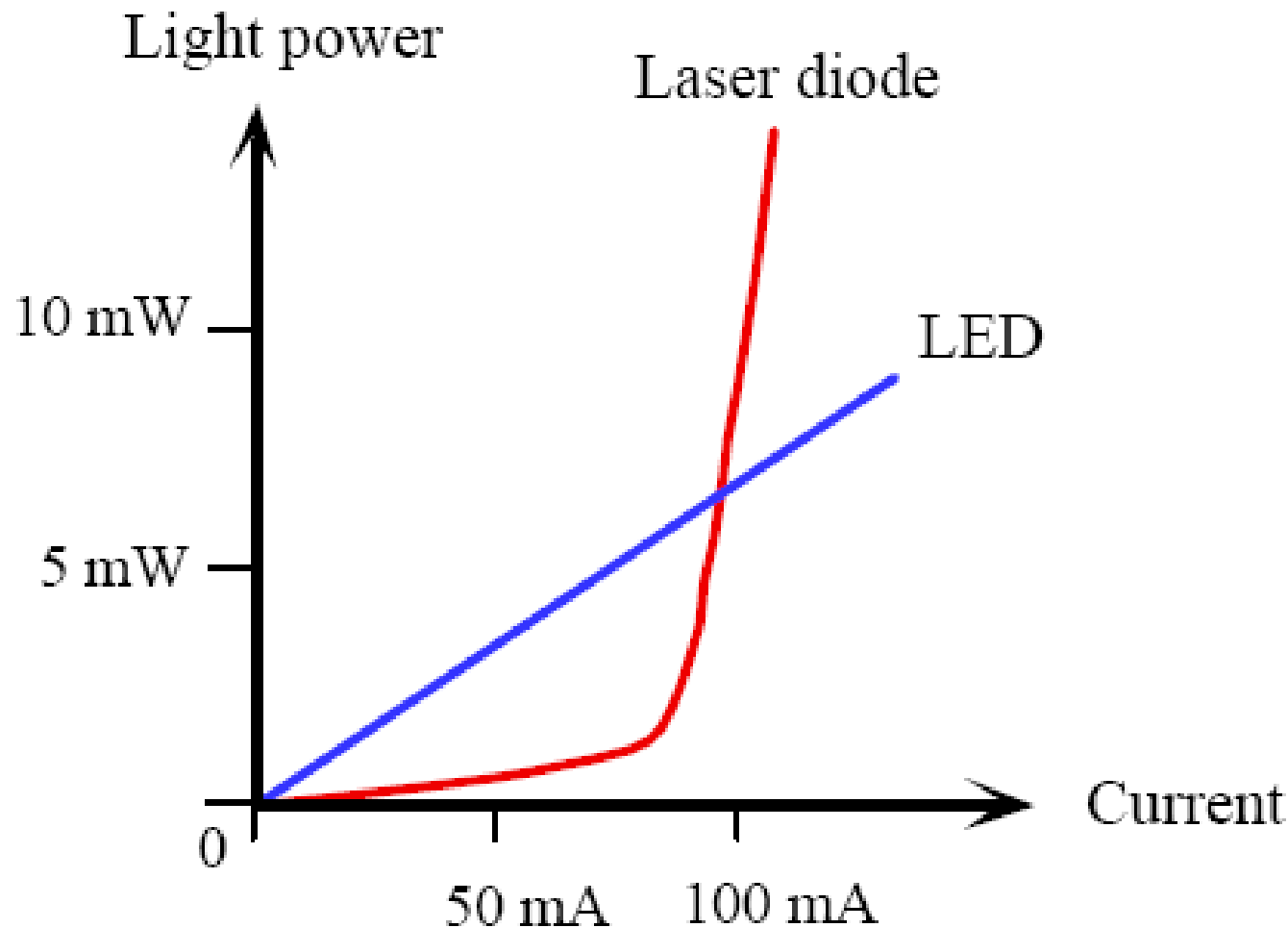
۴- کوپلر خروجی

❖ یک آینه ، بطور صد درصد نور را منعکس می کند.

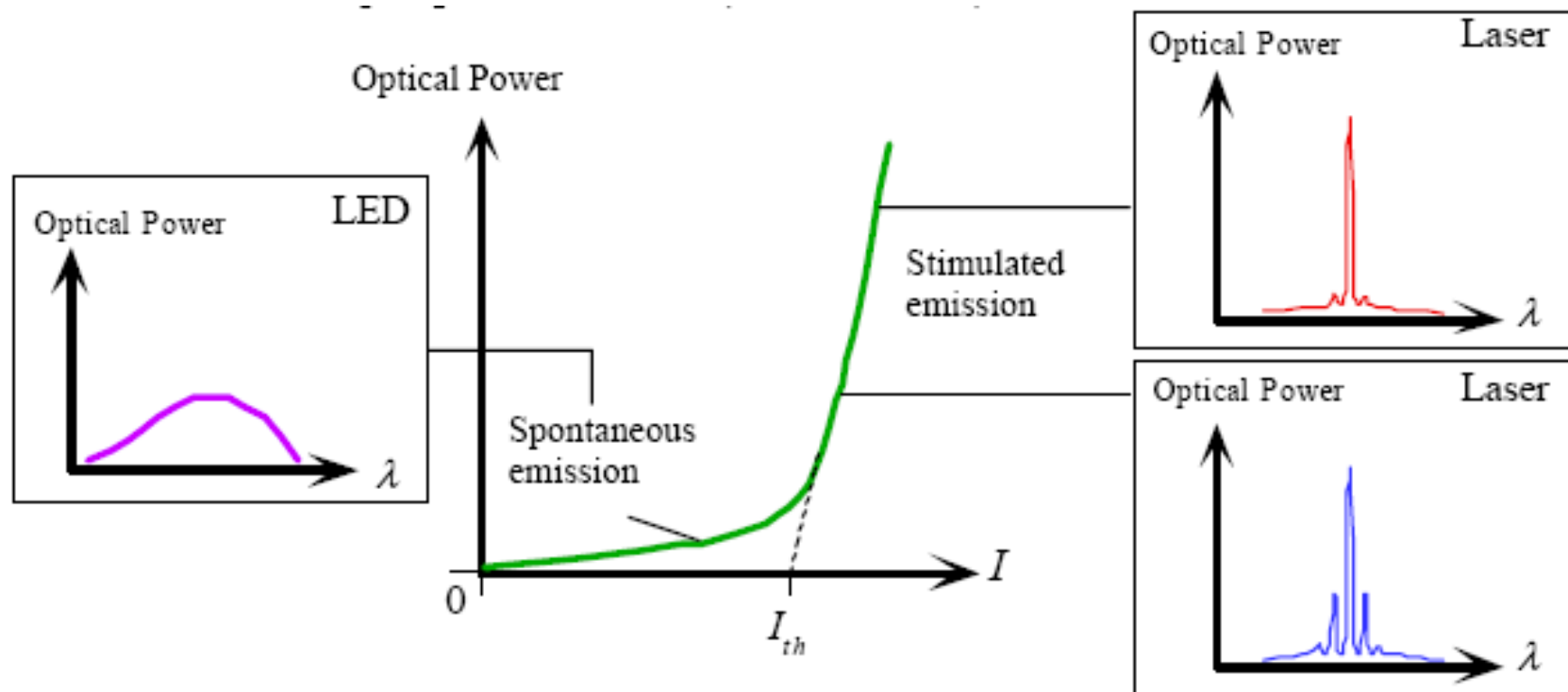
❖ یک آینه به صورت جزئی، قسمت زیادی از نور را منعکس و کسری از نور را عبور می دهد.



# مقایسه منحنی مشخصه LASER و LED



## منحنی مشخصه لیزر



# Types of Semiconductor LASER

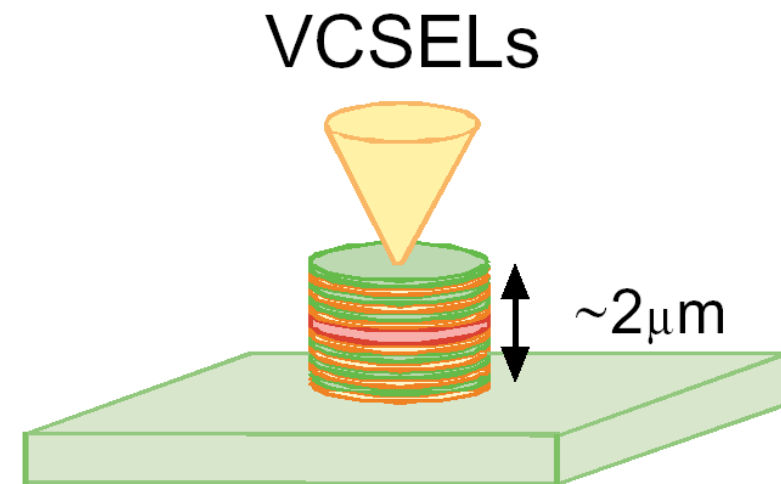
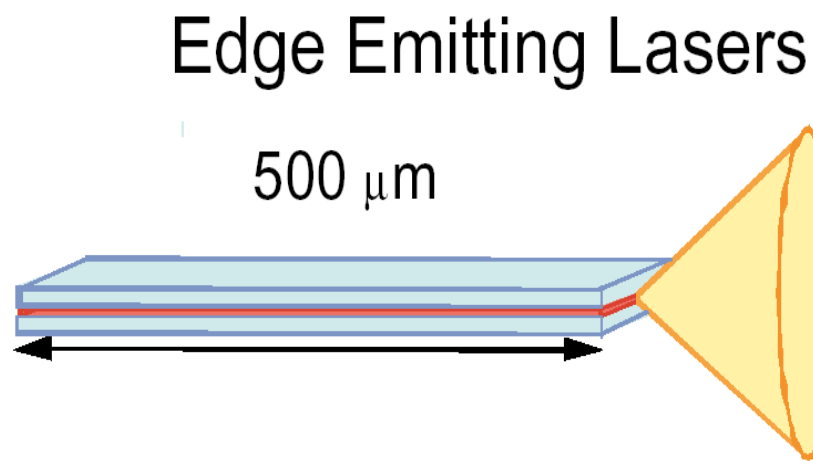
## □ Fixed Wavelength:

- I. Fabry-Perot (FP)
- II. Distributed FeedBack (DFB)
- III. Distributed Bragg Reflector (DBR)
- IV. Vertical Cavity Surface Emitting Lasers (VCSEL)

## □ Multi-Wavelength:

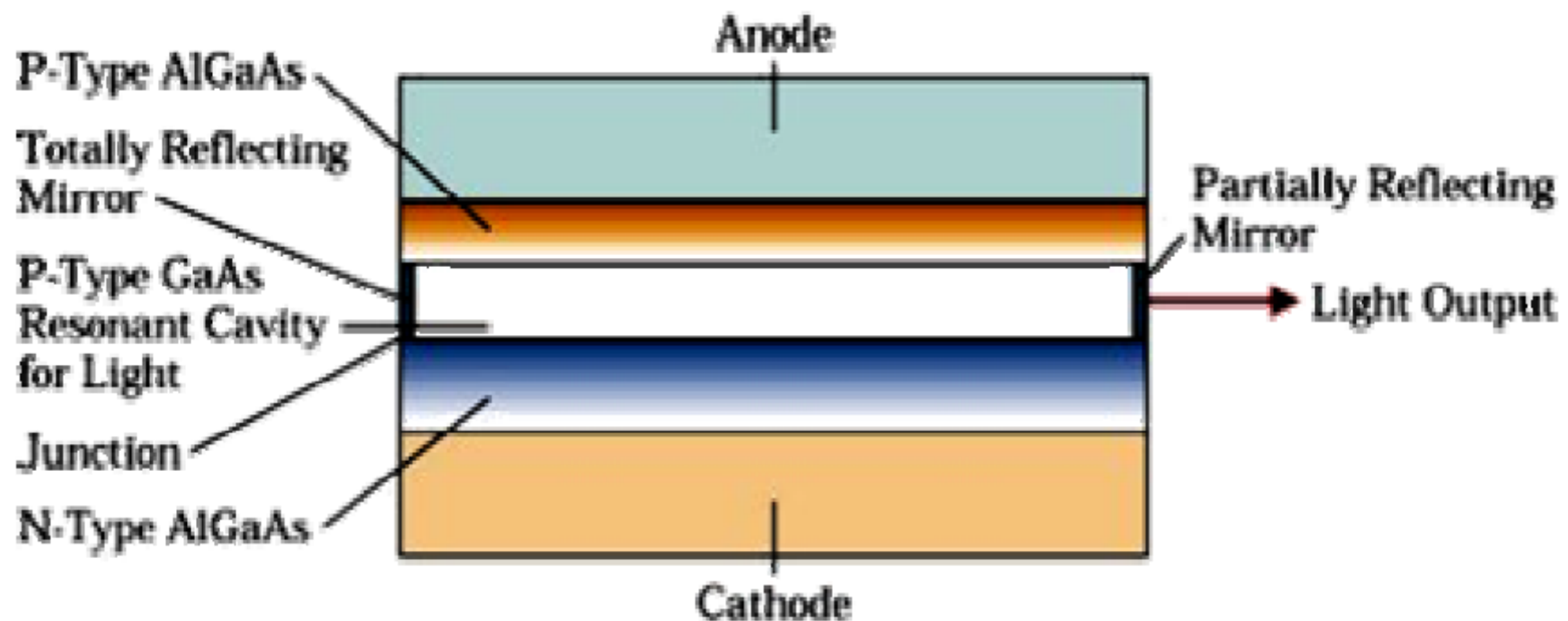
- a. Laser array
- b. Tunable Laser

# لیزر گسیل لبه‌ای و گسیل سطحی

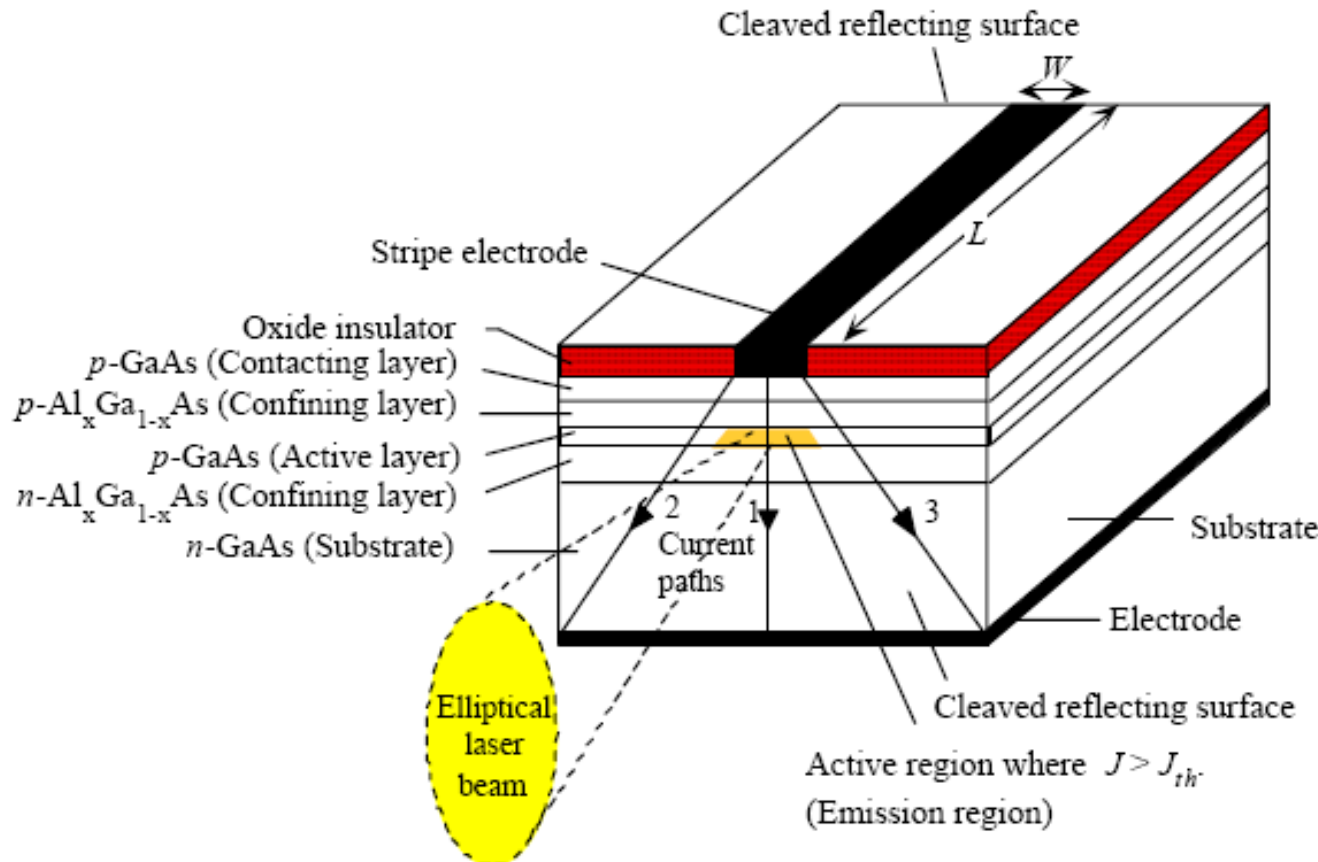


# Fabry-Perot Laser (FP)

- ❖ پر کاربردترین لیزر
- ❖ یک LED با یک جفت آینه

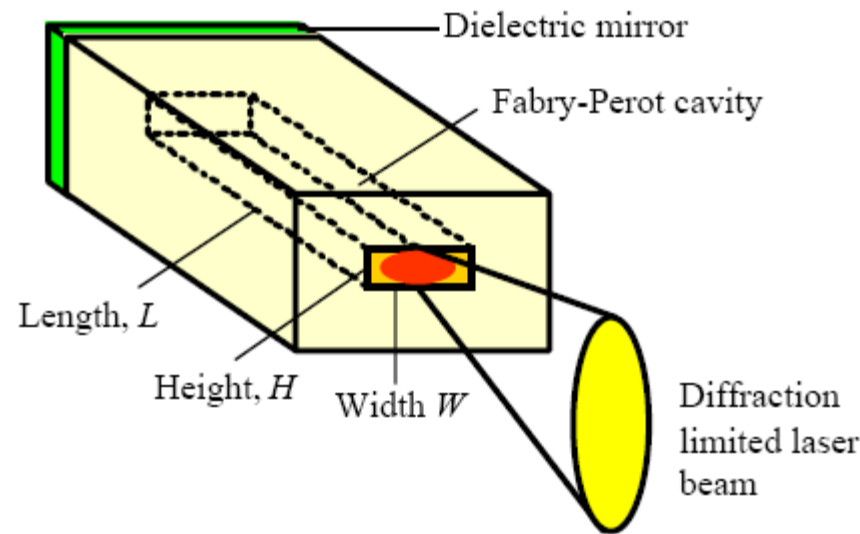


# Fabry-Perot Laser (FP)

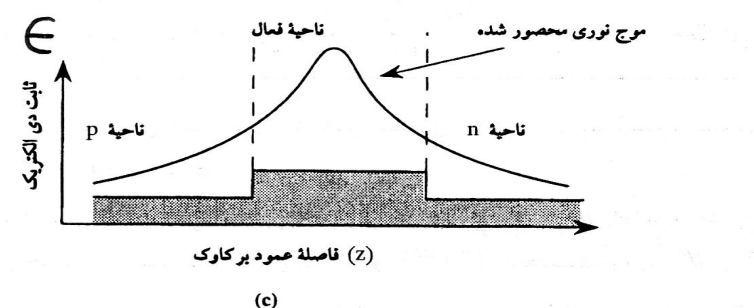
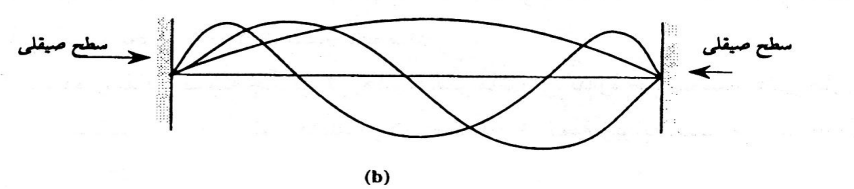
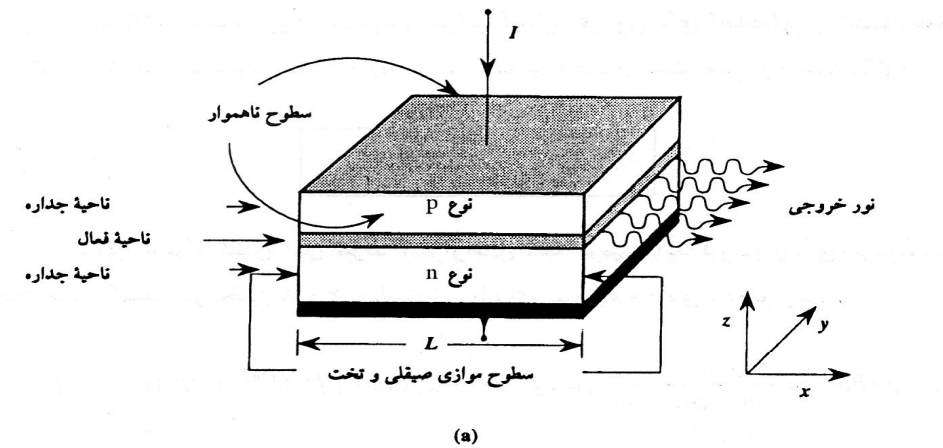


Schematic illustration of the the structure of a double heterojunction stripe contact laser diode

# Fabry-Perot Laser (FP)

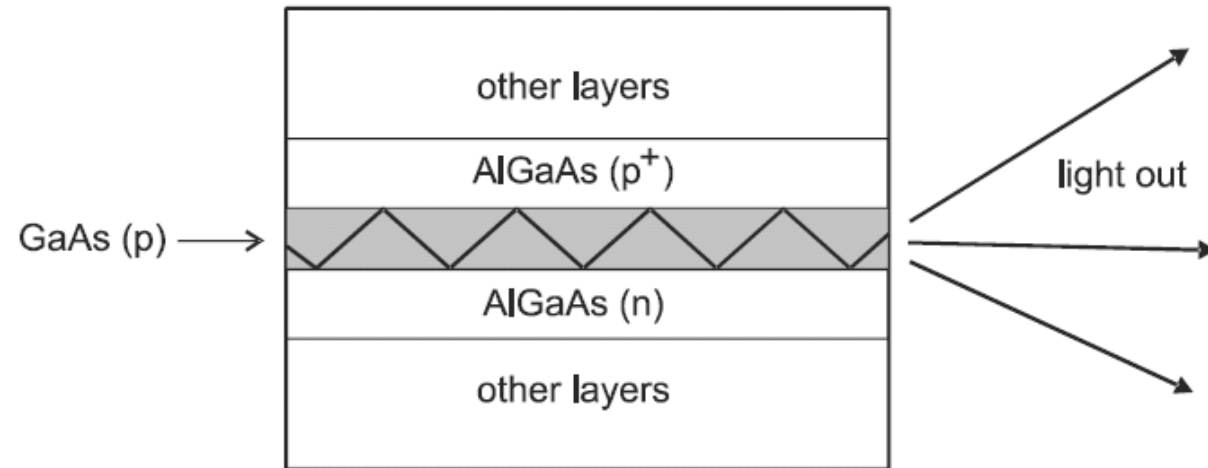


# Fabry-Perot Laser (FP)

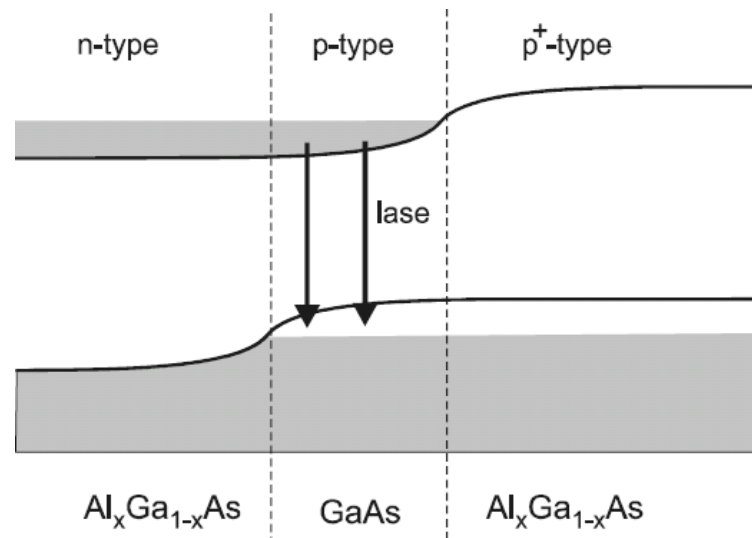


# Double Heterostructure laser (DH)

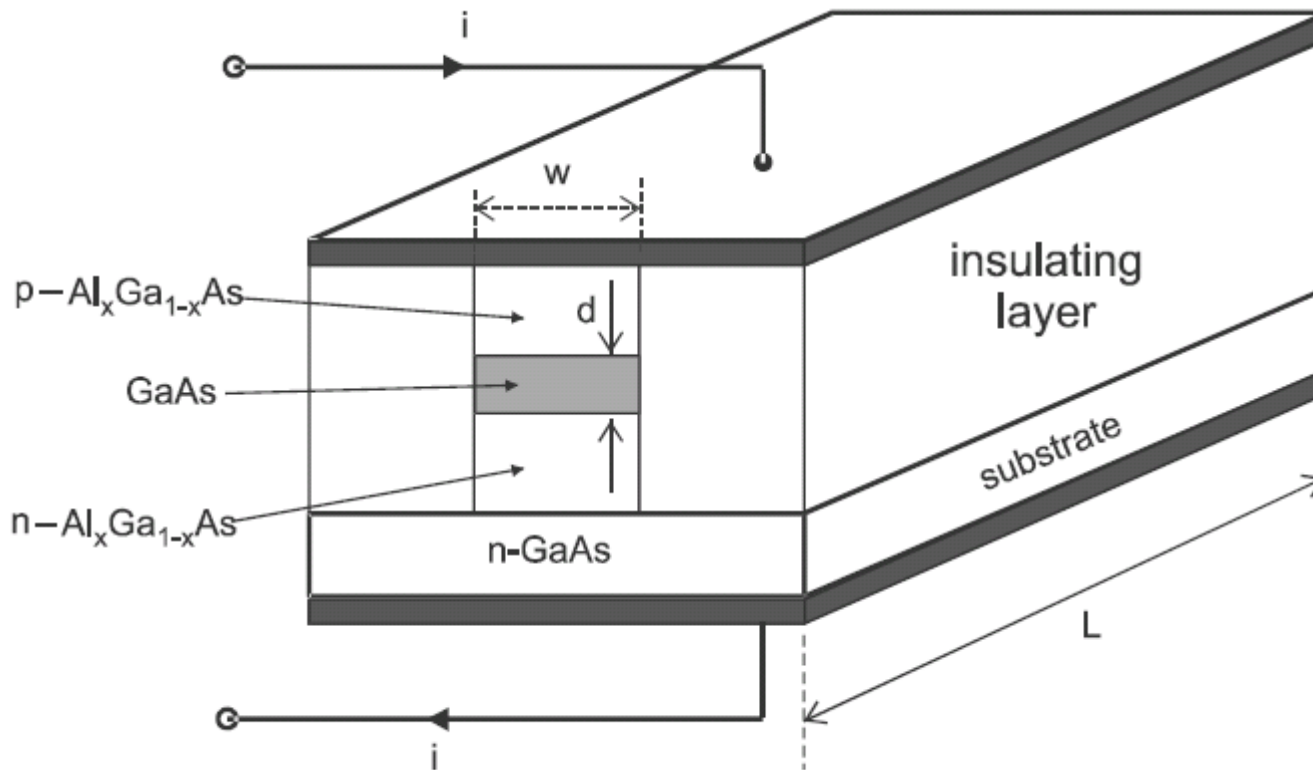
**Figure 11-15** The light distribution is more confined in a double heterostructure (DH) laser, due to index guiding in the waveguide structure.



**Figure 11-16** In a DH laser, the energy bands are shifted so as to permit overlap of free electrons and holes in a well-defined active region.



# Double Heterostructure laser (DH)

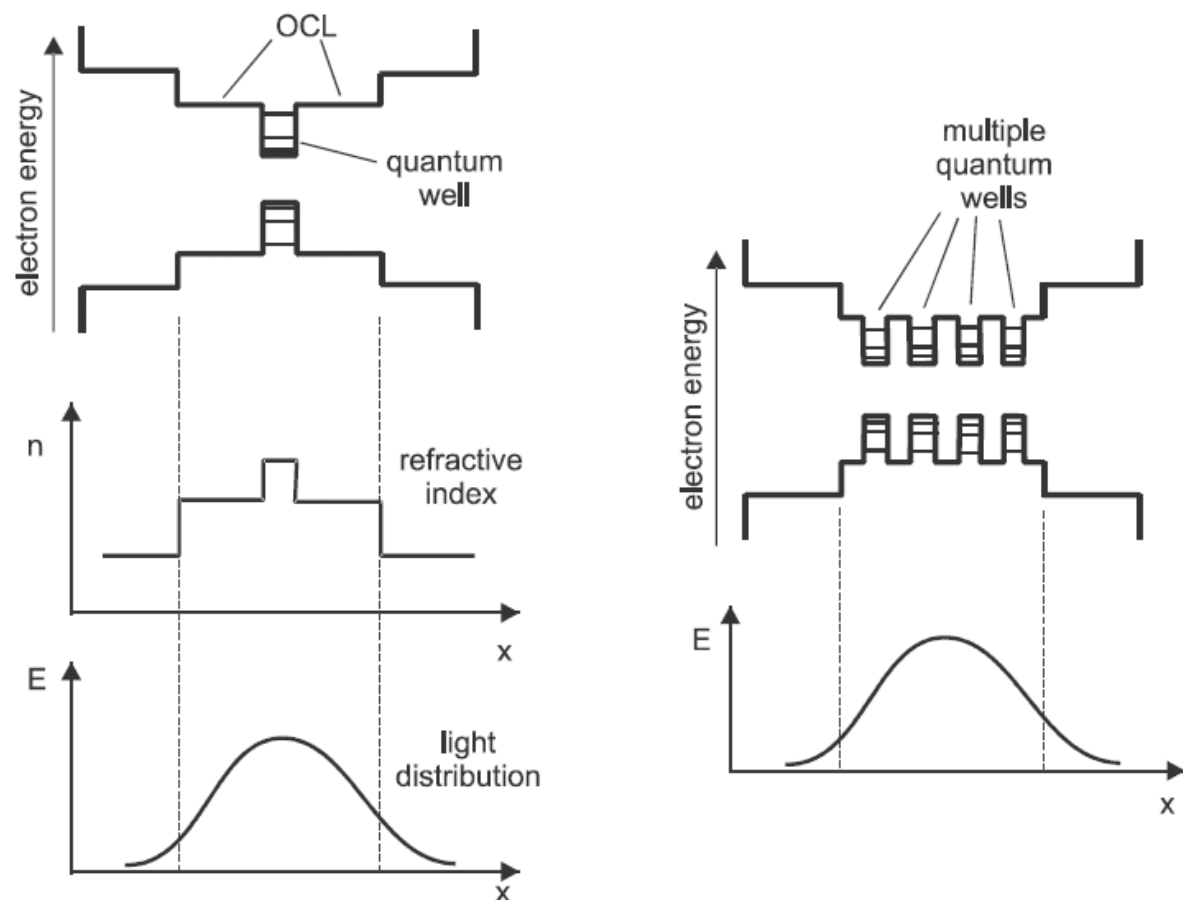


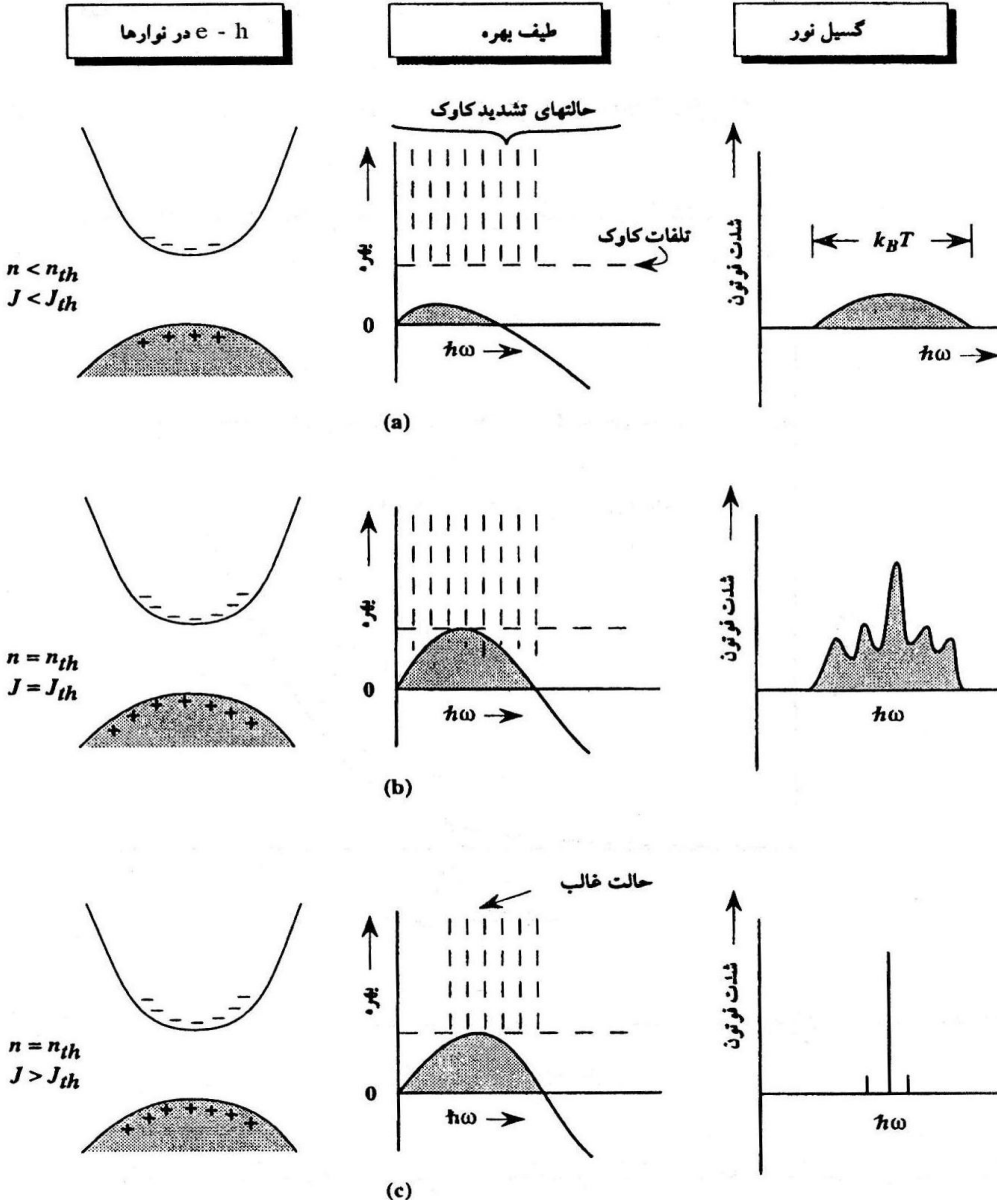
**Figure 11-18** In the stripe geometry **laser**, the waveguide width *w* is reduced for *improved mode* stability. Shown is the buried heterostructure configuration, with the active **GaAs** region surrounded by other materials.

# Quantum Well Laser

**Figure 11-19** (a) In a **separate confinement heterostructure laser**, the light wave is guided by **optical confinement layers** (OCLs), whereas the electrons and holes are confined inside the quantum well.

(b) In a **multiple quantum well (MQW)** device, electrons and holes in each quantum well interact with the same light field.



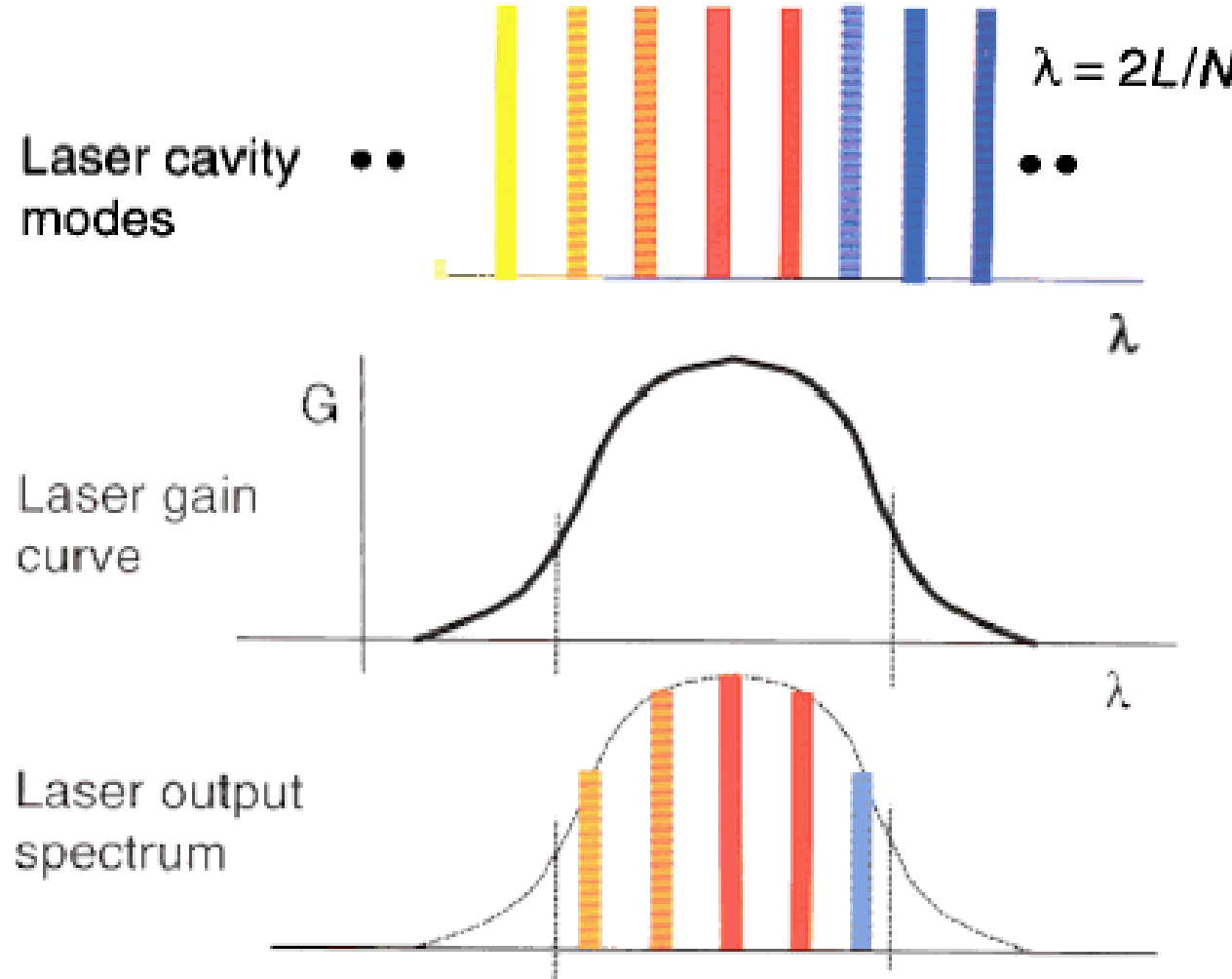


**(a) لیزر زیر آستانه:**  
بهره کمتر از تلفات کاواک است.

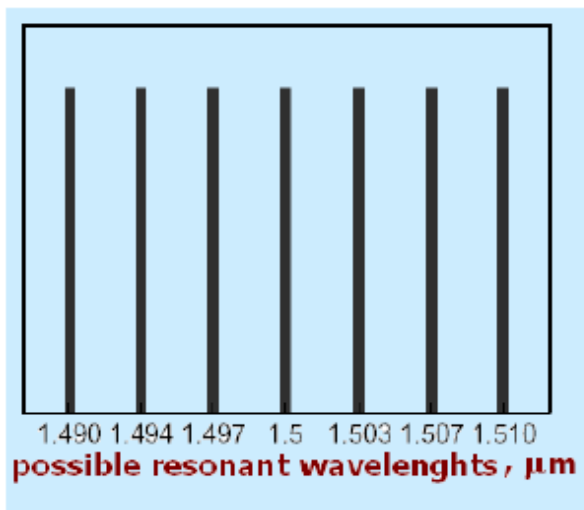
**(b) لیزر در آستانه:**  
چیرگی برخی حالت بر طیف  
گسیل، آغاز میشود.

**(c) لیزر بالای آستانه:**  
طیف بهره تغییر نمی کند، ولی  
به دلیل گسیل تحریک شده،  
حالت غالبی بر گسیل نور چیره  
می شود.

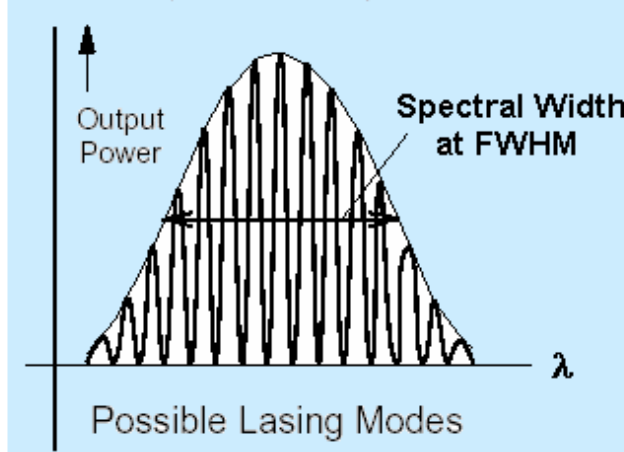
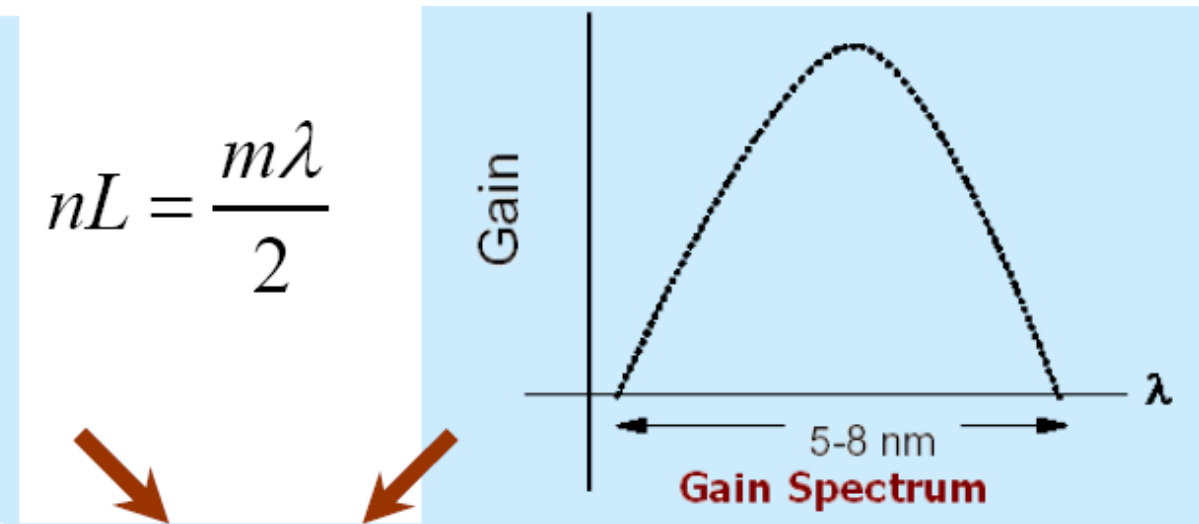
# مودهای خروجی در لیزر فابری پرو



## مودهای خروجی در لیزر فابری پرو

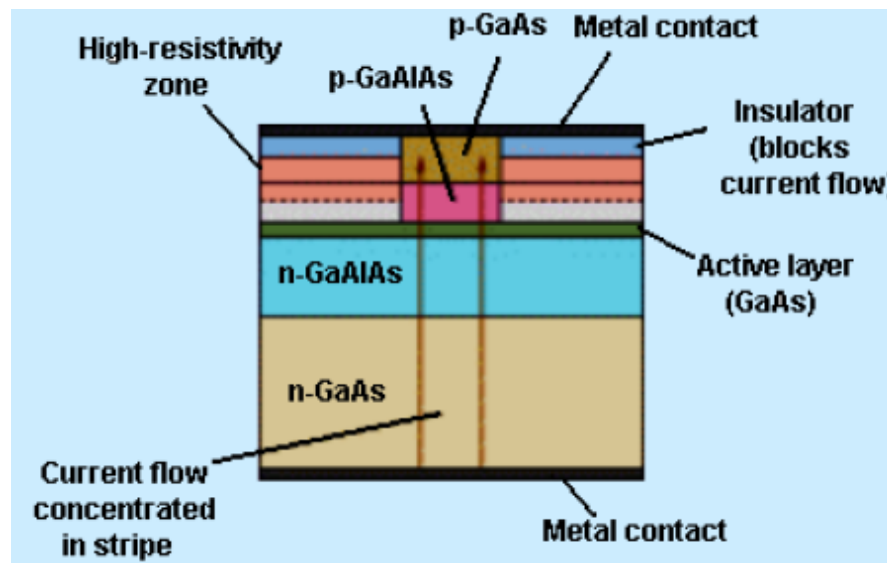


$$nL = \frac{m\lambda}{2}$$

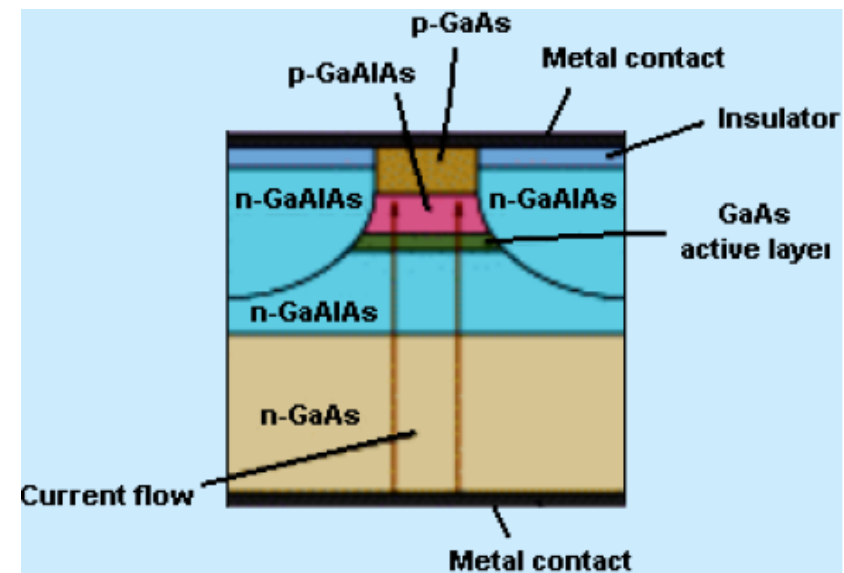


# روشهای هدایت نور در لیزر

## Gain-Guided



## Index-Guided



# Grating

❖ چون در لیزر **FP** تعداد طول موجهای زیادی وجود دارد ، لذا برای وضعیت های زیر مناسب نمی باشند:

مالتی پلکسینگ  
طول موج

فواصل طولانی

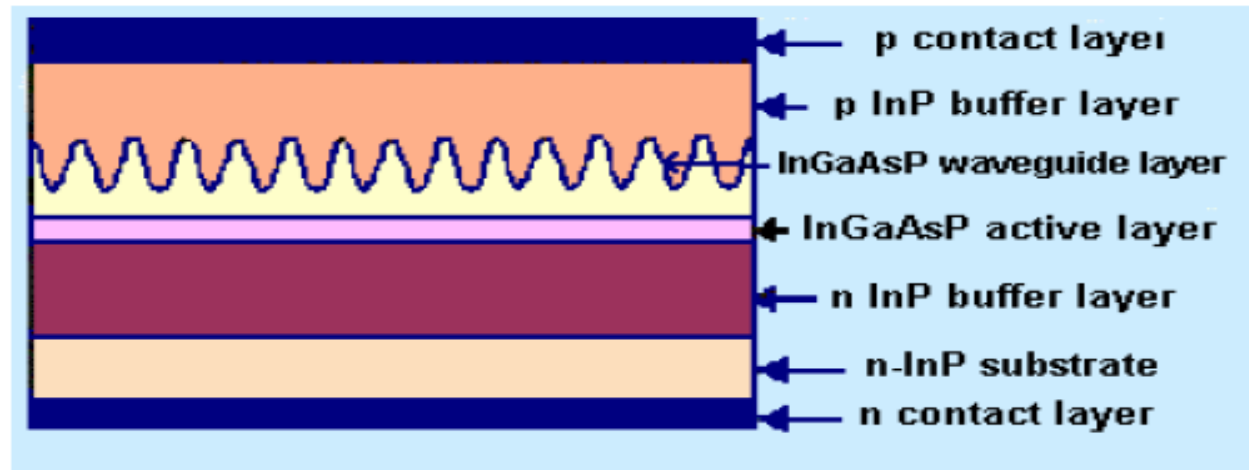
بنابراین:

اصلاحات بوسیله جایگزاری **توریهای پراش** درون کاواک صورت میگیرد.

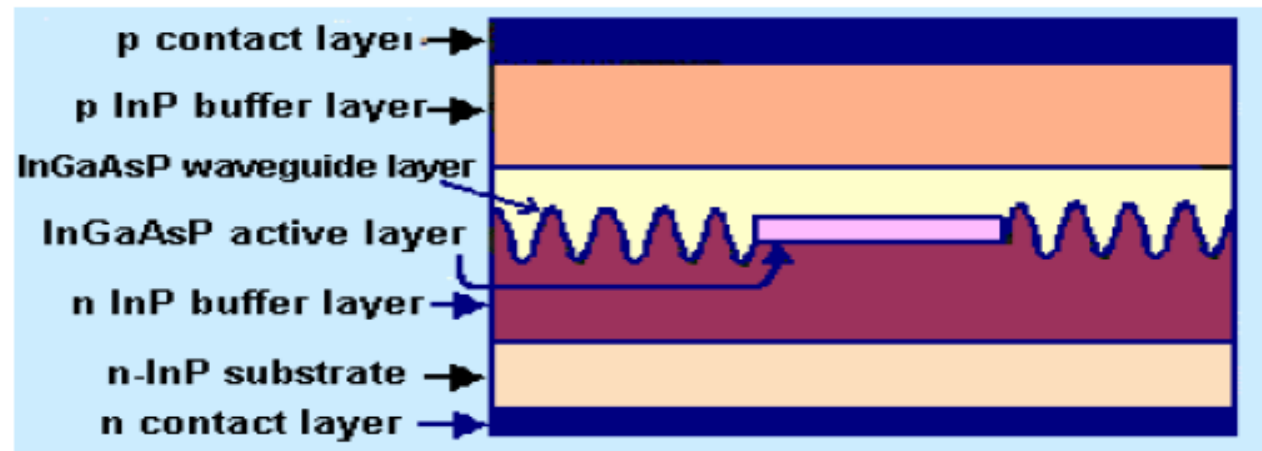
نقش لینه و انتخابگر طول موج را خواهد داشت: **Grating**

لیزرهای **DBR** و **DFB** (پهنای خط طیفی باریک در حدود  $0.2 \text{ nm}$  تا  $0.3 \text{ nm}$ ) ←

## Distributed Feedback Laser (DFB)

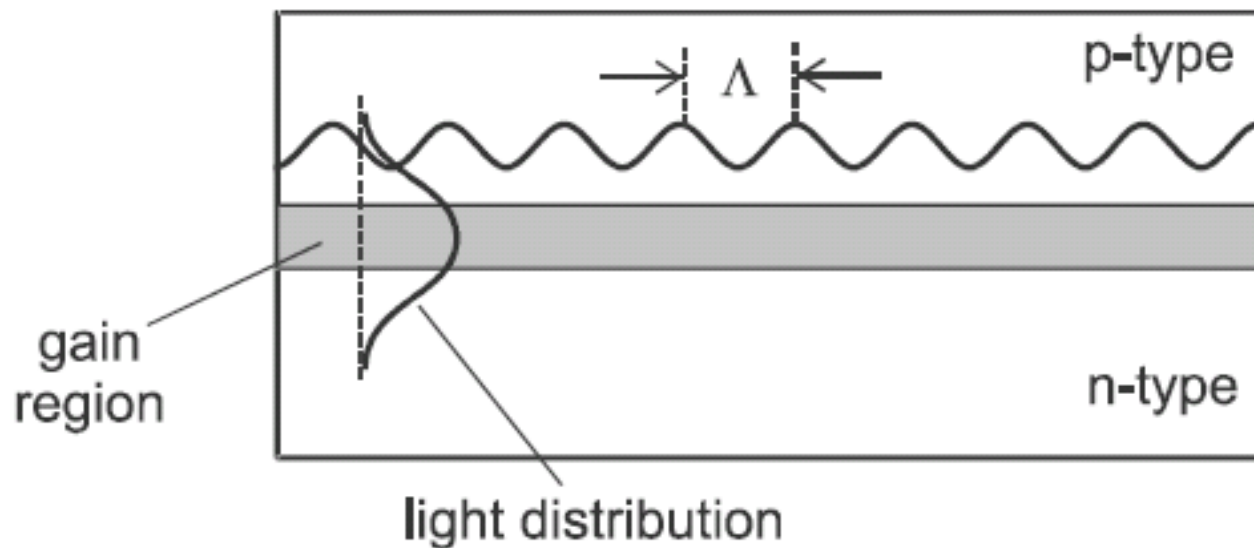


## Distributed Bragg Reflector (DBR)



# Single-Frequency Laser

## 1. DFB



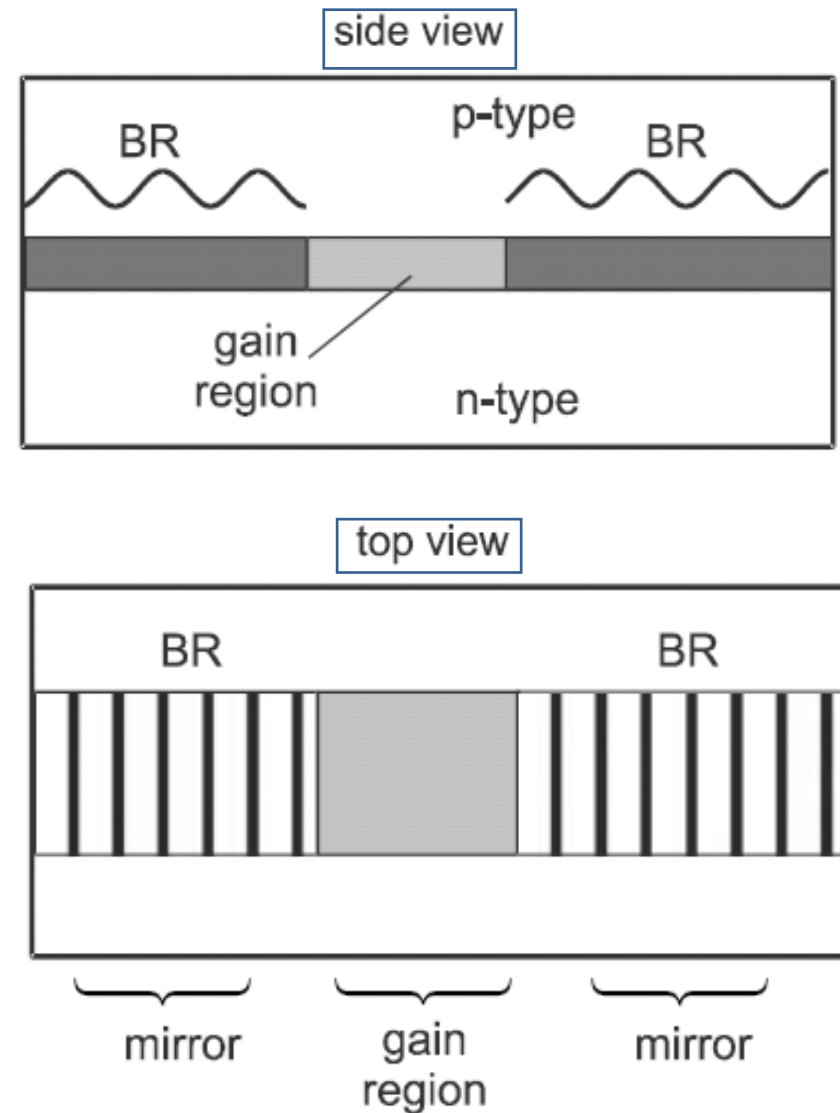
$$\Lambda = m \frac{(\lambda/n)}{2}$$

**Figure 11-20** In a distributed feedback (DFB) laser, single-frequency operation is obtained by Bragg reflection from corrugations near the gain region.

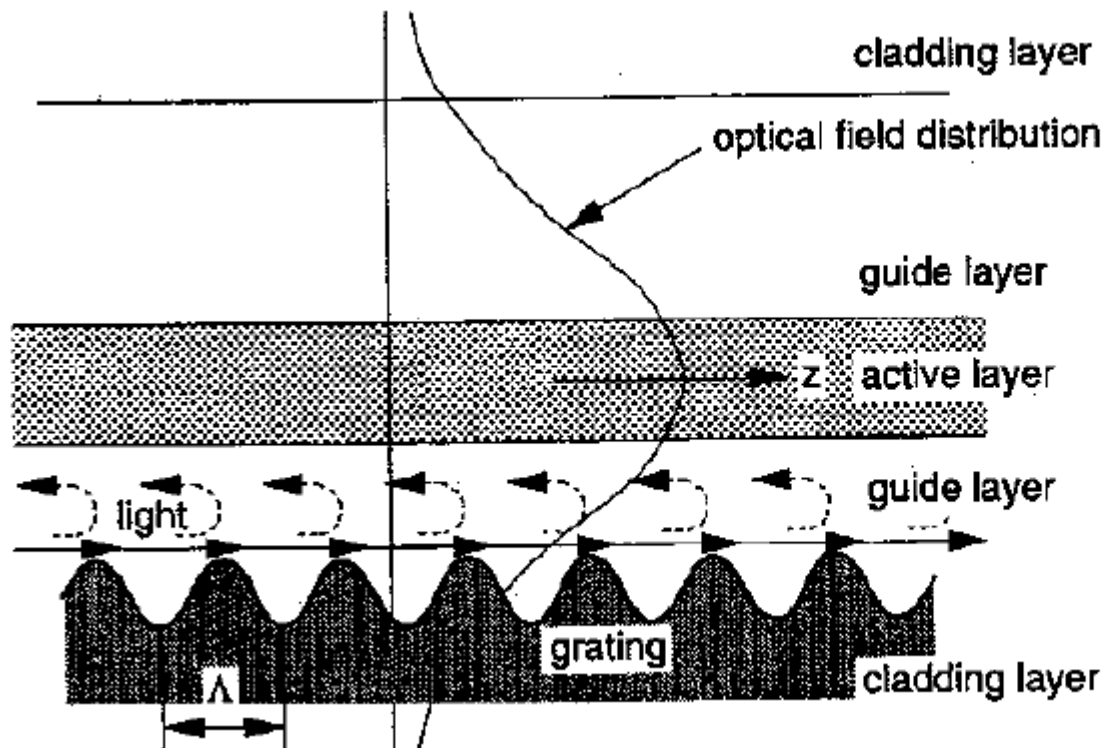
## 2. DBG

**Figure 11-21**

In a **Distributed Bragg grating (DBG) laser**, single-frequency operation is obtained by reflection from **Bragg gratings** that are separate from the **gain region**, and which act like mirrors.



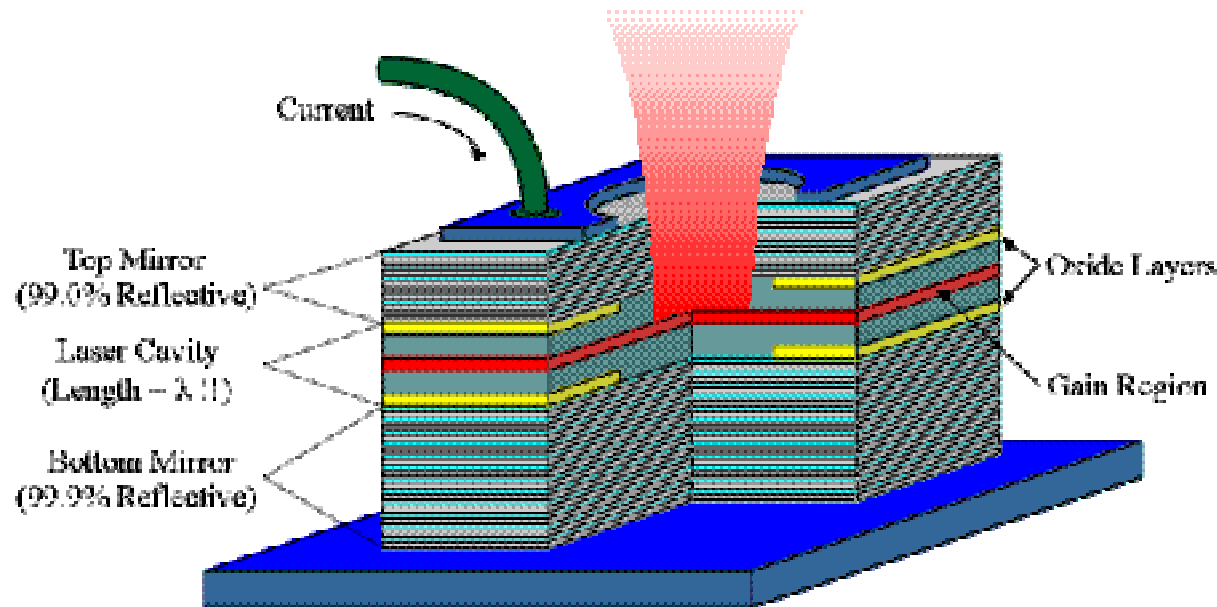
❖ در لیزرهای DBR و DFB برای طول موجهای برآگ انعکاسات از قسمتهای مشخصی از Grating بصورت هم فاز هستند و تداخل سازنده رخ میدهد.



$$\lambda_B = 2n_{eff}\Lambda$$

## لیزرهای گسیل سطحی با کاواک عمودی

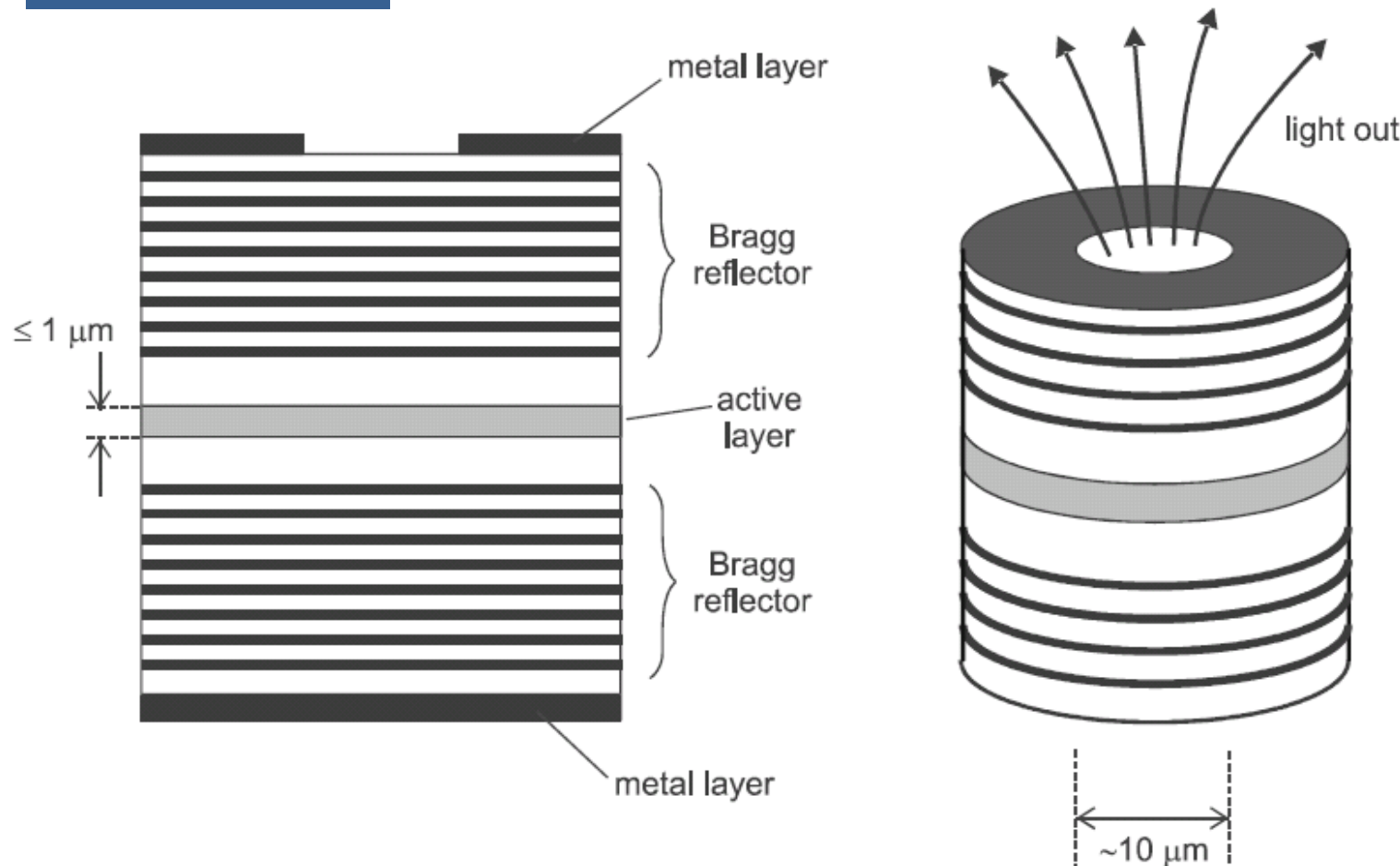
### Vertical Cavity Surface Emitting Lasers (VCSEL)



- اینه ها بصورت لایه های یک درمیان از موادی با ضریب شکست مختلف ساخته میشوند.

چینه های لایه بصورت گریتینگ برآگ میباشند که اینه انتخاب طول موج میباشد.

### 3. VCSEL



**Figure 11-22** In a vertical cavity surface-emitting laser (VCSEL), the laser cavity is perpendicular to the active layer, with feedback provided by Bragg reflectors.

## LED vs. laser spectral width

Single-frequency laser  
( $<0.4$  nm)

Laser output is many times higher than LED output; they would not show on same scale

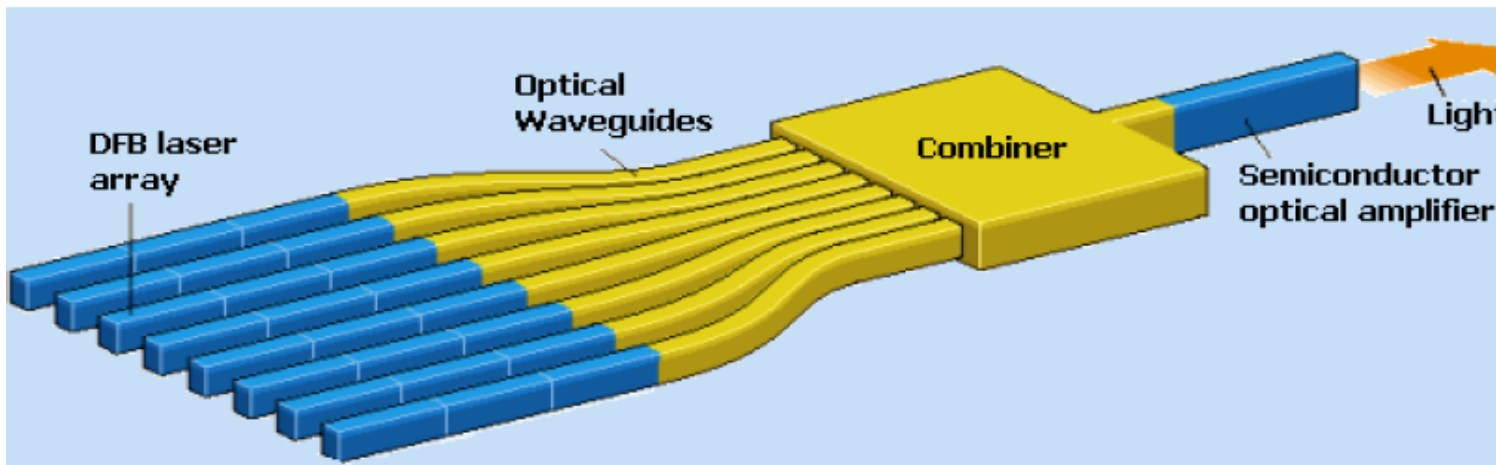
Standard laser  
(1-3 nm wide)

LED (30-50 nm wide)

Wavelength

# Multi-Wavelength LASERS

## a) Laser Arrays



## b) Tunable Lasers

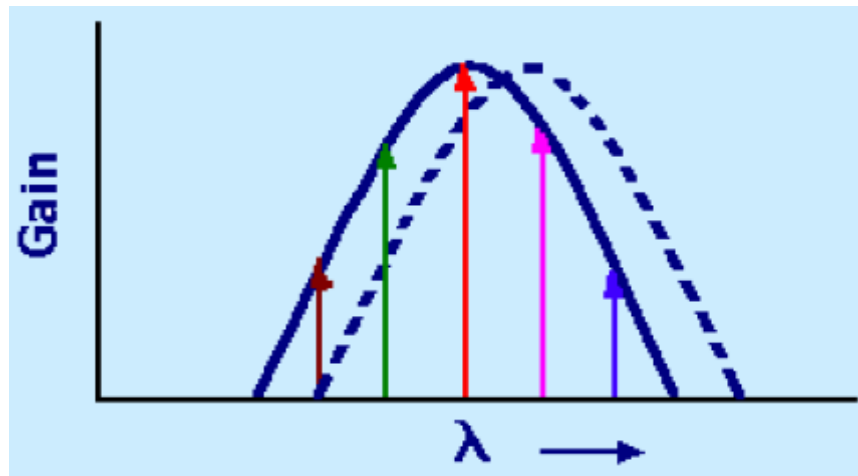
- **External Cavity tunable lasers**
- **Monolithic Integrated Tunable Lasers**

سه راهکار اصلی برای تنظیم کردن طول موج لیزر:

۱. تغییر مشخصه بهره (تغییر  $n$  یا لینه های انتخابگر)

۲. شیفت دادن طیف مذانه ای (تغییر  $nL$ )

۳. تغییر همزمان  $n$  ،  $L$  با هم



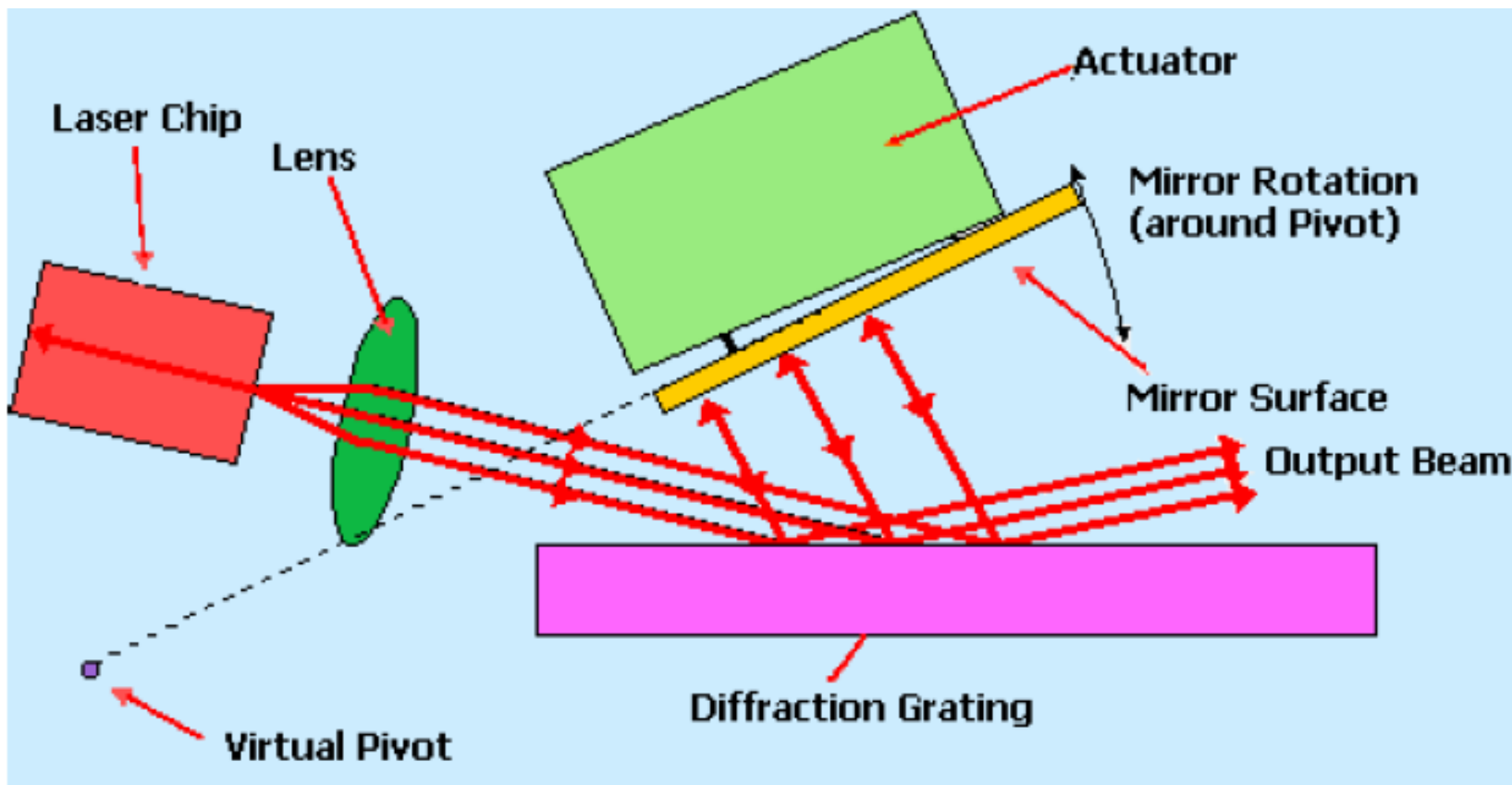
$$nl = m \frac{\lambda}{2}$$

توجه: ضریب شکست وابسته به چگالی حاملهاست  
تغییر جریان ناحیه فعال  $\longleftrightarrow$  تغییر ضریب شکست  $\longleftrightarrow$  تغییر طول موج

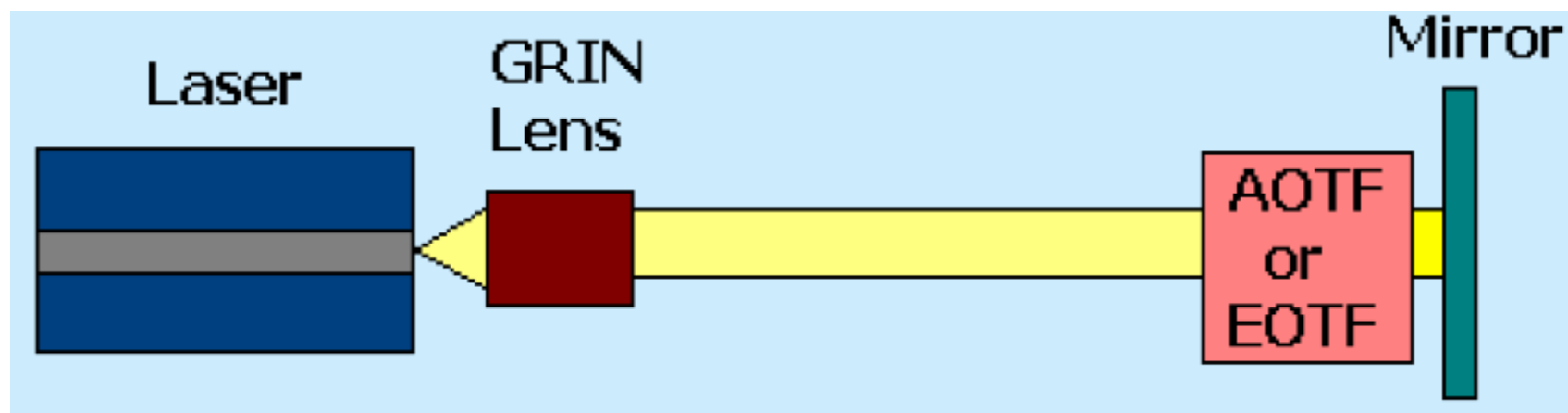
## لیزرهای قابل تنظیم با کاواک خارجی

1. **MEMS: Micro-Electro-Mechanical Systems**
2. **AO: Acousto-Optically**
3. **EO: Electro-Optically Tunable Laser**
4. **VCSEL: Vertical Cavity Surface Emitting Laser**

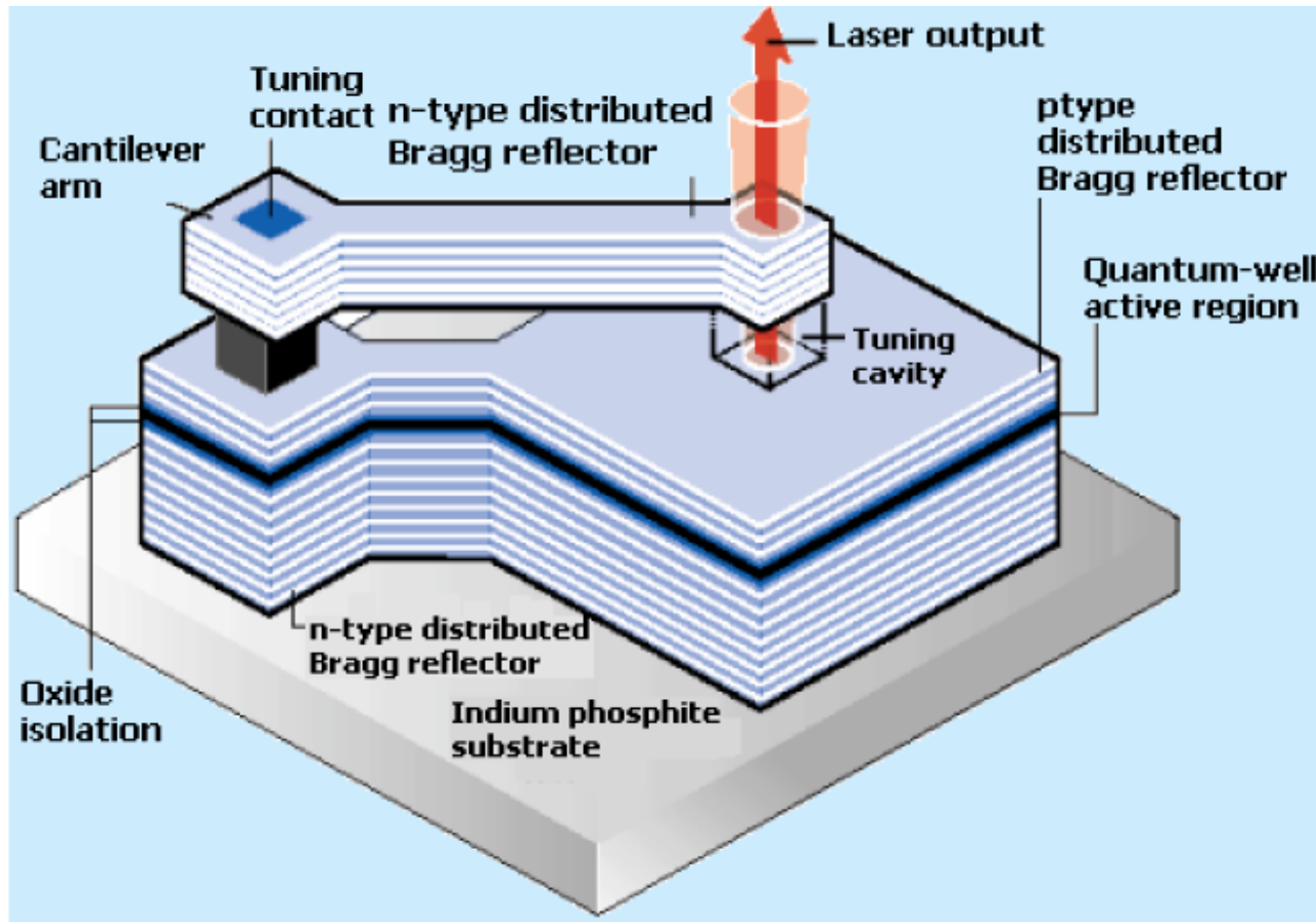
# 1-MEMS :Micro-Electro-Mechanical Systems



## 2. Acousto-Optically (AO) 3. Electro-Optically (EO) Tunable Laser



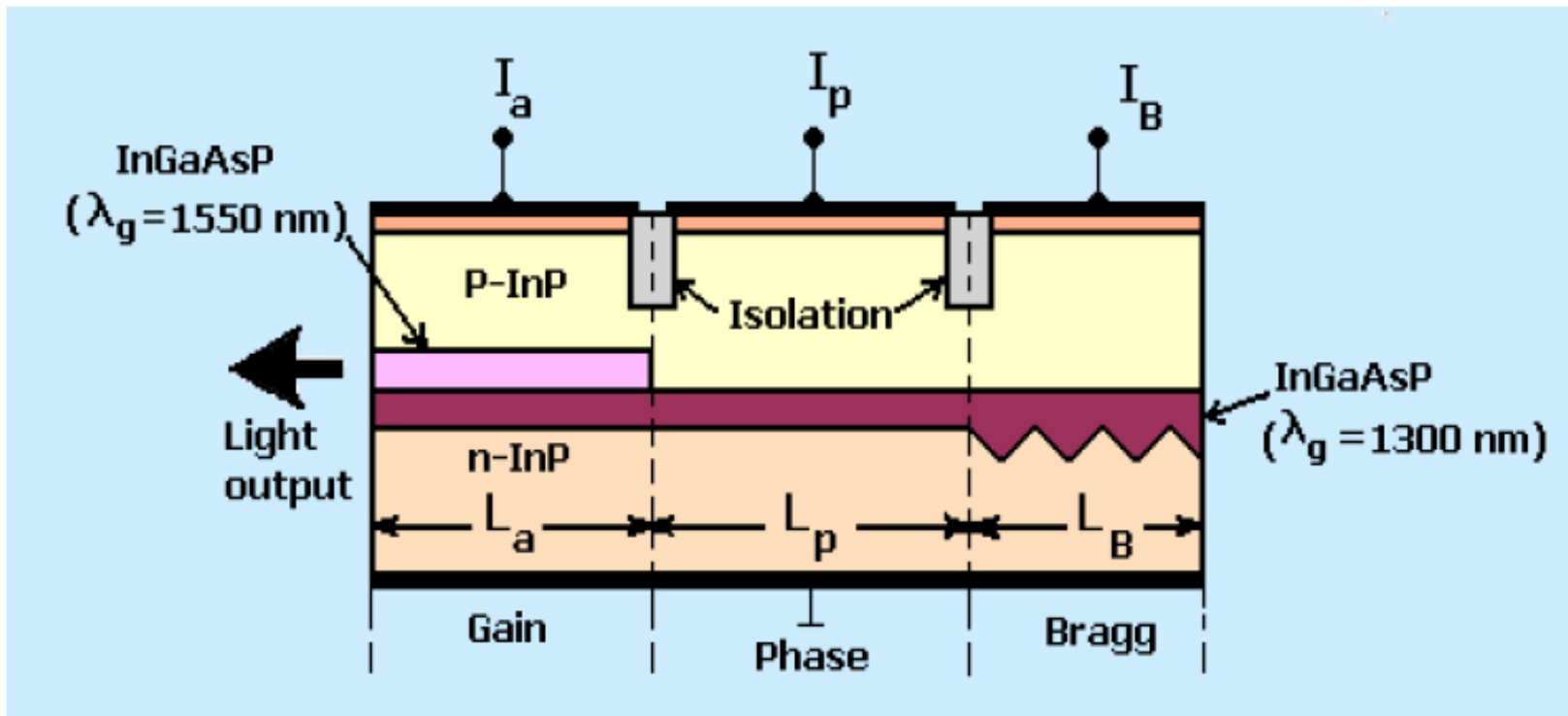
## 4. Vertical Cavity Surface Emitting Laser(VCSEL)



لیزرهای قابل تنظیم که بصورت یکپارچه مجتمع شده اند:

- 1. Three-Section DBR Laser**
- 2. Three-Section DFB Laser**
- 3. Sampled Grating-DBR(SG-DBR)**

# 1-three-section DBR laser

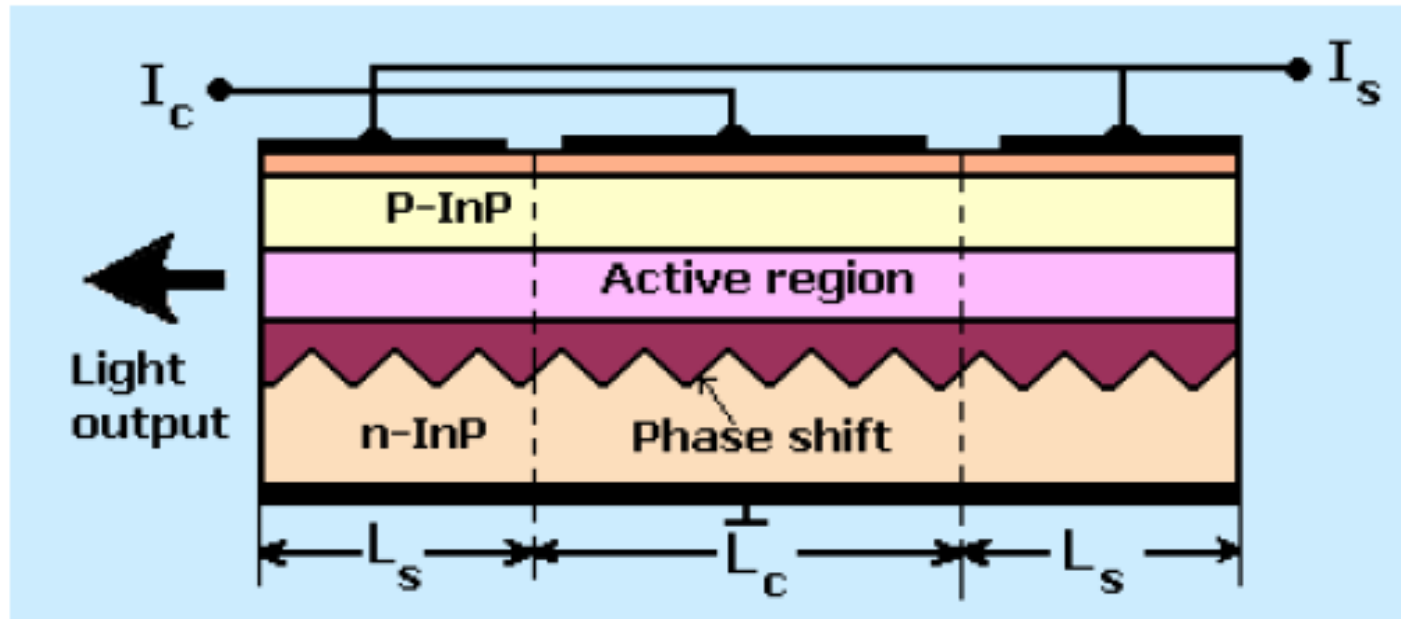


$I_a$ , optical gain

$I_p$ , location of comb-mode spectrum

$I_B$ , Cavity gain peak wavelength(Bragg wavelength)

## 2-three-section DFB Lasers



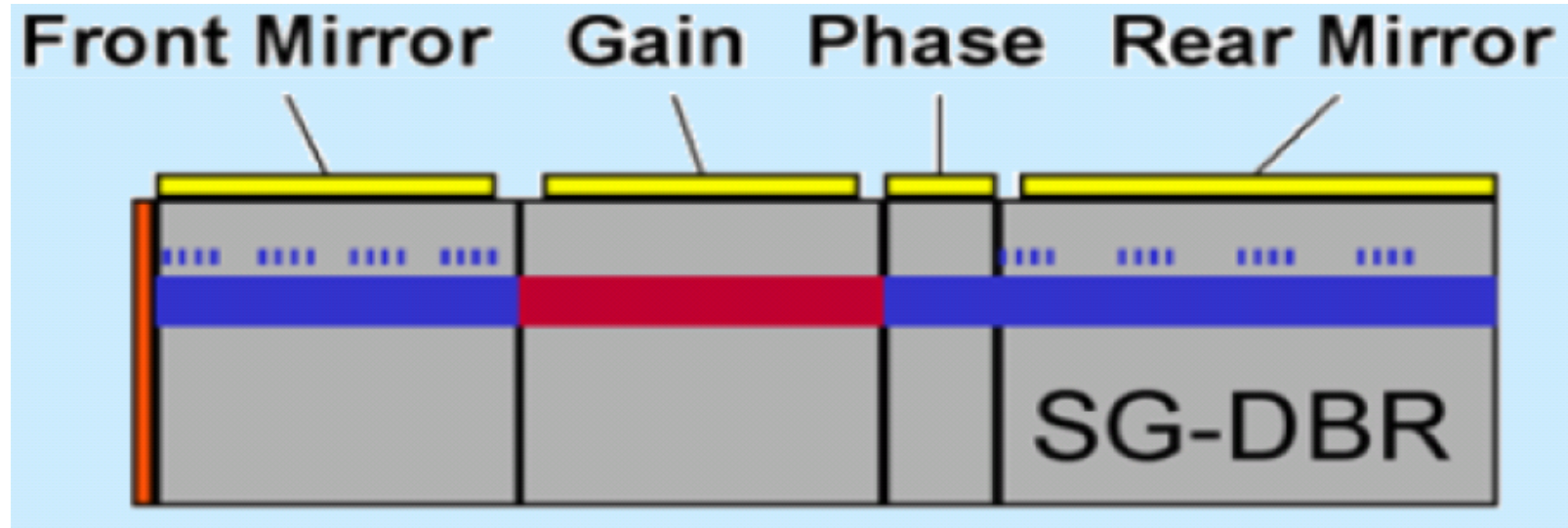
$I_s$ , optical gain (higher than threshold current)

$I_c$ , tuning current that is a little less than or equal to threshold current)

### ۳- لیزر قابل تنظیم با گریتینگ نمونه برداری (Sampled Grating – DBR)

قسمت هایی از گریتینگ به طور متناوب در امتداد طول آن حذف می شود. به عبارتی از گریتینگ نمونه برداری می شود.

- ❖ در قسمت بپره، تزریق جریان توان خروجی را کنترل می کند.
- ❖ در قسمت آینه ها، وارد کردن حامل های تزریقی، تغییر در ضریب شکست ایجاد می کند که طول موج لیزر را از طریق شیفت در طیف انعکاسی DBR تنظیم می کند.
- ❖ قسمت فاز مدهای کاواک را تنظیم می کند.



# مشخصات لیزرهای قابل تنظیم

مدت زمان تنظیم (میکرو ثانیه)	محدوده تنظیم (نانو متر)	نوع منبع
۱۰۰ تا ۵۰۰ میلی ثانیه	۲۰ تا ۱۰	لیزرهای قابل تنظیم مکانیکی
ده ها میکرو ثانیه	۲۰ تا ۱۰	لیزرهای قابل تنظیم صوتی - نوری و الکتریکی - نوری
۰.۵ تا ۱۰ نانو ثانیه	۴	لیزرهای قابل تنظیم با تزریق جریان
کمتر از ۶۵ پیکو ثانیه	سوییچ شدنی	منابع سوییچ شده
۱۰۰ تا ۲۰۰ میلی ثانیه	۱۶ کانال با فواصل گیگا هرتز	آرایه های فازی ( گریتینگ موجبر آرایه ای)
۱ تا ۱۰ نانو ثانیه		آرایه ساده (DFB)

